

高能天体物理

2019年春季学期 hufeng@tsinghua.edu.cn
 上课地点: 清华S111 S-619 崇礼清华 / I 物馆 223
 实验课地点: 待定 Tel. 62792153
 教材: Malcom S. Longair (自带笔记本) ssh-Y

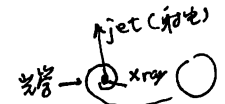
High Energy Astrophysics (第215页内容, 第315页加入了最新观测)
 Frank, King & Raine
 Accretion Power in Astrophysics (吸收物理一译, 经典的描述)

预备知识: 量子力学, 电动力学, luminosity 参考教材, 天文学 (观测建议书) 为以后英文完成
 用 Chandra 望远镜

高能物理与天体物理, 大概 ~ 80% 的宇宙学知识 课程

课程安排: 作业 45% [作业 45%]
 实验 40% [x射线实验, 讲座 20%, 作业 10%, 理论研讨 10%]
 大作业 15% [Chandra 的建议书]
 5月31日会议论文写作
 6月14日答辩
 是管天文以及做天文
 应该及早积累 idea

高能天文就是时域天文
 时间是短尺度, μ ms; 且以累积信号不敏感
 因而有长时间本底比
 以新望远镜 和 Hubble 的紫外分析
 都是实验驱动 近年是多信使天文学的建立时期



宇宙学中的天体物理

宇宙学中的天体物理 (x-ray 观测)
 宇宙学中的天体物理

x射线的研究基础是量子力学 (吸收截面外流则是光致电离)

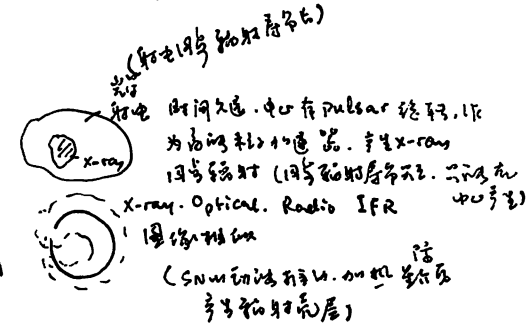
初阶课程 (高维宇宙学 - 黑洞谱坑星 x-ray)
 进阶课程 (进阶天体: wo, ns, BH, 双黑洞引力波)
 都会有吸收, 但不吸收 x-ray (吸收截面 ~ 10²⁴ cm²)
 进阶课程, 尤其是中子星, 也是天体物理的一个分支
 目标, 其内部物理过程以及其过程
 都未知
 黑洞是无毛, 而中子星有毛, 所以反而简单
 黑洞是死的, 中子星是活的, 所以反而复杂

双黑洞系统 (中子星 双星系统 10¹¹ Gs = 10⁸ T, 轨道 10¹⁴ Gs)
 实际系统是百 T
 地球表面 ~ Gs
 黑洞系统通常 $B_0 \approx B_{12} \approx 10^{12}$ Gs
 10¹² Gs
 10¹⁷ km
 10¹² Gs
 其空间被极化, 决定为双光子系统
 [~ 电磁辐射]

双黑洞速度 (黑洞喷流)
 恒星, 黑洞, SMBH 都有喷流, 在不同尺度上

高能天体物理

同一区域不同物理过程 (Blazar: 同轴辐射 + Compton)
 同一物理过程不同物理过程 radiate (多波段辐射, 同轴辐射)
 物理过程 [同时]: 比 CARO 早期 Gamma
 光学, 射电有吸收, 分辨率 今年有 x-ray, radio, optical
 Fermi: 0.1-100 GeV 和宇宙学
 Chandra: 1''
 HST: 0.1'' (高维 ~ 10¹⁰ 光年)
 VLA, VLBA: 10¹⁰ km ~ 10¹⁰ 光年



超新星遗迹 Cas A

M82 星系

x-ray: galactic-wind
 光: star
 radio: star formation
 射电: 电离区
 射电 x-ray 22 是
 和恒星形成有关, SN

案例: Perseus A 星系团

星系团 ICM (ICM) 有高温气体 (virial 温度, virial 温度 T 很高) - x-ray
 Jet 星系和射电气泡, 有强磁场, 温度 10¹¹ K, x-ray 后两少
 也有许多星系产生光致电离

双黑洞系统 (SN, GRB)

双黑洞系统 (SN, GRB)
 双黑洞系统 (SN, GRB)

为什么要在空间观测 x 射线

射电容易在地面

大气透明 + 望远镜观测不受天气影响

光学. 红外. 存在 window

x-ray 必须在天上. 是因为 Gamma-ray 可以探测整个地球的设备

气球

探测火箭(导弹) ~ 曝光了 ~ 5 min. 产生了整个 x-ray 天文学

x-射线天文历史

1949年. 探测火箭发现太阳的 x-ray (日珥. 日冕和 X 射线)

1962年. 第一次探测到太阳外的 x-ray (Sco X-1)

是 2002 年 NPO 发现. 是 2002 年 NPO 发现. 是 2002 年 NPO 发现. 是 2002 年 NPO 发现.

1970-1973 第一次天文望远镜 Uhuru (自由. 非洲语言)

第一次 x-ray 巡天 (2-20 keV. 10^3 Crab)

339 个 x 射线源 ~ 有探测器. 得到源的编号 (4U - 编号 + Uhuru Catalog)

发现了来自了星团 x-ray 源. 超新星

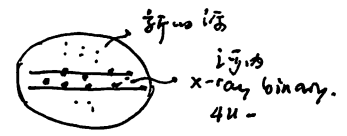
1978-1981 Einstein

第一次观测 x-ray 双星

1990-1999 ROSAT

卫星

发现超过 10⁵ 个 x-ray 源



1995-2012 Rossi X-ray Timing Explorer

ASM (all-sky monitor)

大量 x-ray 源. 有大量以小时

PCA (电荷耦合器件阵列)

大面积探测器阵列

由多个探测器阵列组成

探测了 8000 多个 x-ray 源. 全系统

对银河内 BH 与 NS 有了更深入的了解

现役主要望远镜

Chandra 分辨率最好. 灵敏度最好

XMM-Newton

Suzaku (发射 x 射线)

Swift (小卫星. 探测伽马射线. 为观测伽马暴)

中国主要望远镜

HEMT (慧眼)

Guostein 计划. 整个 x-ray 全天巡天

EXTP 指环型探测器阵列 (未来最有前途项目)

极紫外: 总谱仪 (以天文(宇宙)项目) 偏振探测器

作业: 练习 2. 南大的课程 ADS arXiv

光的吸收与散射的相互作用

侧面: 光的吸收作用越强 \rightarrow 大 \rightarrow

$$\sigma_{\text{ext}} \Delta x = -\frac{dI}{I} \xrightarrow{\text{积分}} \int_{I_0}^I \frac{1}{I} dI = -\ln \frac{I}{I_0}$$

$$I = I_0 e^{-\mu x} = I_0 e^{-\mu \rho x}$$

μ 与吸收系数 μ 有关
 (与大部分与吸收 μ 成正比)

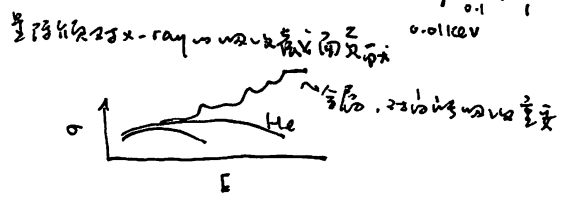
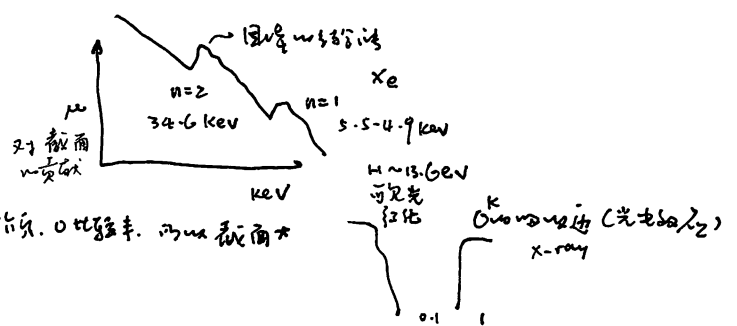
光深 $\mu x_0 = e^{-1}$

| | | |
|----------------|-------|--------------|
| $\mu x < 1$ 光薄 | 与波长有关 | optical 大气光薄 |
| $\mu x > 1$ 光厚 | | x-ray 大气光厚 |

与吸收系数有关 完全吸收 $\mu \gg \mu_0$
 $\mu_0 \approx 0.2$ 散射 $\sigma_{sc} > 1$
 吸收 $\sigma_{abs} \approx 0$

光电效应

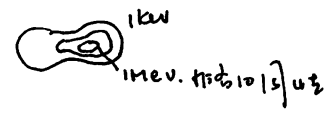
$\sigma_{pe} \approx Z^5$ 截面与 Z^5 成正比
 $(h\nu)^{7/2}$ 光电效应 $h\nu \gg$ 结合能



光电吸收的 μ 与 Z^5 成正比: 特征 X 射线或俄歇电子
 O_{core} jump 多重电离 \rightarrow Fe 透明
 He III 14686 (He 第 2 电子 \rightarrow 电离能 54.4 eV)
 是 soft-x-ray 高能 x-ray 或 UV 探测器 不行也
 俄歇电子

Compton 散射

光子和自由电子的散射



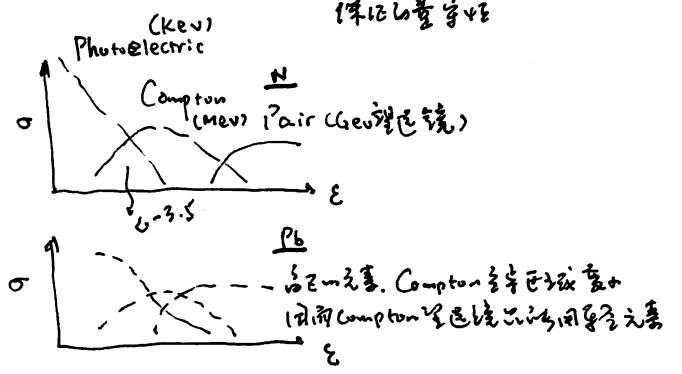
Compton 散射

最小值为 Thomson 散射
 $\sigma_{T} = 6.653 \times 10^{-29} \text{ m}^2$, 与 ν 无关
 高能时为 Compton 散射, σ 有变

总 Compton 散射: 光的能量比 $\downarrow 2$ 倍
 因而, 相对论喷流产生 Gamma-ray

正负电子对产生

$h\nu \geq 2m_e c^2$, m_e 是电子质量, 产生正负电子对
 必须通过核 $\sigma \propto Z^2$
 截面与 Z^2 成正比



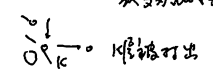
总 Compton 散射光的能量比是多少? $\downarrow 2$

6 MeV 光子发生光电效应, 产生正负电子对多少? 在探测器中沉积的能量为多少?

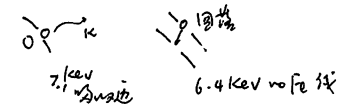
与结合能有关 沉积的能量比可能的 $\leq 6 \text{ keV}$ 特征 X 射线 逃逸 (σ_{ext})

He II 谱产生机制?

He II 谱由 He III. ($\text{He II} + \text{He III} 26 \text{ eV}$)
 He III 与自由电子结合, 其中一个通道产生 He II 线



吸收谱中 Fe 的 6.4 keV 线产生?



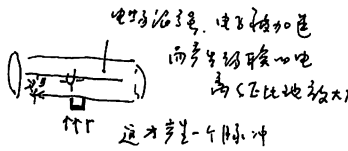
截面比 μ 与 Z^5 成正比
 $\sigma \approx 25 (h\nu)^{-3}$ (何留祥)

ISM 中 X 射线吸收, 主要是什么元素起主导作用?
 肯定是金属 (而不是中性氢, 一般将 column den rescale 到 10^{21} cm^{-2})

EBIT 探测器

气体探测器。X 射线产生光电子

光电子由气体原子吸收为离子、电子。电子向阳极漂移。



$w \sim X \sim 21.5 \text{ eV}$ (常数)

$\int A \sim 26.2 \text{ eV}$ 大气中电子

• 估计 电子平均电离功为 $20-30 \text{ eV}$. 平均自由程 $10^3 \sim 10^4 \text{ cm}$

Cascade 条件

自由程内电离功 $\Rightarrow E > 10^4 V_{cm}$ 平板电容器, 不大可行 ($D = 10 \text{ cm}, U > 100 \text{ kV}$)

圆柱电容器 $E = \frac{U}{r \ln \frac{b}{a}}$

$b = 10 \text{ cm}, a = 10 \mu\text{m}, U = 1 \text{ kV}$

且有 $r < 0.01 \text{ cm}$ 时, 产生雪崩放大。

所以电场分布不均匀, 在中心区域放大, 满足正比条件

• 平均电离功

$N = \frac{E}{w}$ 平均电离功

不是泊松过程 (电离前后次相关), 而是泊松分布, $\sigma_N^2 = FN$

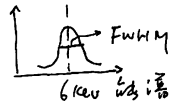
能量分辨率 $\frac{\Delta E}{E} = 2.35 \frac{\sigma_N}{N} = 2.35 \frac{\sqrt{FN}}{N} = \frac{2.35}{\sqrt{N}}$

N 越大越好, 分辨率越好
2.35 σ_N 是 Gauss 分布的半高全宽

w 小的, 分辨率越好

由于放大电路的噪声, 实际分辨率有所改善。

(现在探测器基本达到极限)

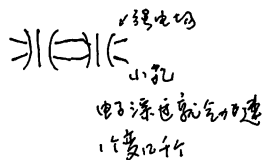


例子: PCA / XTE

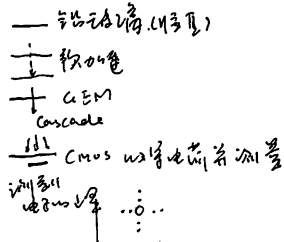
由单丝改进为多丝 EBIT 型 (Nobel Prize)

多丝间距最多 mm (线 $a \sim \mu\text{m}$)

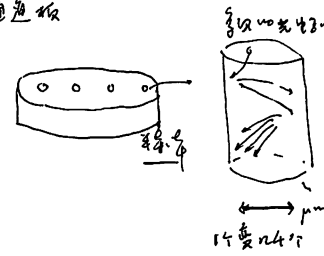
例子: 广角 X 射线流量监测 EBIT 型 (CEM)



极光探测器原理图



微通道板



爱因斯坦卫星

Einstein / HRI

ROSAT / HRI

Chandra / HRC

优点: 分辨率高 (微米), 时间分辨率也好
缺点: 几乎没有能量分辨率能力, 只靠计数 (原因: 第一次电离的多重决定 N)

闪烁探测器

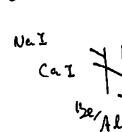
不带电荷

X 射线与探测器材料相互作用, 产生荧光: 通过产生闪烁光子并

光电倍增管内吸收 PMT



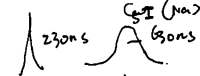
例子: HXMT 慧眼。



一个 PMT, 电压输出信号与晶体厚度不一致

可以制造在中间一层 (不同晶体发光衰减时间不一致) 闪烁。 (=> 脉冲形状分析)

NaI(Tl)



决定时间分辨率 (和计数率)

闪烁探测器 - 优点:

可以简单理解, 读出电路

对硬 X-ray, Gamma 的探测有很大优点

电荷耦合器件 (CCD)

Chandra, XMM 都用了, 是现在的主流。

结构简单, 但读出慢

光子 CCD 的探测效率高, 分辨率好 (光子 CCD 探测效率 95% 因为分辨率高)

(可读出, 1 光子产生一个电子 - 光子对, 不需颜色)

X 射线光子, 电荷多个电子 - 光子对, 在单电荷中)

$N \ll E$

普通相机通过快门控制曝光时间; 电荷耦合器件CCD
Chandra 没有快门没有曝光板, 电荷耦合器件, 电荷通过导线 \Rightarrow 产生图像

无法区分各个以光子为一个向的光子。
(电荷耦合器件 distort)

Chandra 最快读出一次(读出光子数)

所以不能探测光子太多, 否则产生堆积。(与光子率时间间隔分布有关)

没有冗余

中心大, 因而没有 redundant 读出一次读出光子数

CCD 读出条纹: Streak 沿读出方向存在

单色光源探测器

像素大, 读出快, 读出光子数更好 ω 时 ΔE 更宽 3.6 eV
 $\Delta E @ 6100 \text{ eV} \approx 120 \text{ eV}$

微量的器

吸收光子产生电荷的电荷量 $\Delta T = \frac{E_{inc}}{mc^2}$ 热容
出一次读出在 0.1 附近, 且热容电阻变化的。
读出光子数即好, 可达 eV (光子利用效率越高越好)
(没有 $N \rightarrow$ 读出, 只读一次总量)

X 射线光源 [很细的谱线]

透射 prism XMM Chandra / LETL
反射 prism RAS

1 和 2 为图像后
但可用 CCD 量读出

$\Delta \lambda \sim 0.06 \sim 0.07 \text{ \AA}$
 $\Delta E \sim 10^{-1} \sim 10^{-2} \text{ eV}$ 读出光子数(可读出)

读出光子数(因为 0.1 分辨率, 1 读出光子)

高能天文观测方法

X 射线反射 (不直射入射)

$n_{\text{电子}} = 1 \Rightarrow n_{\text{原子}} < 1$ (但可引出电子层)
密度低, 原子 ≈ 0.009 , 厚度很小时直射入射。
可以反射

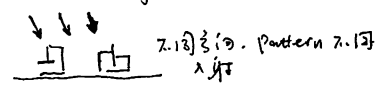
Chandra 探测器 + 2 曲线拟合 (谱线位置), 但只有 5' 内不反射
HAMA

完美加工, 10m focus length. 亚微米分辨率
单光子尺度的厚度误差 (制造精度, 漫反射越严重)
完美对轴拼接

$\Delta E \propto \sqrt{E}$ 10keV ~ 0.50 由于加工精度, 以反射角与 focus
30keV ~ 0.050 已经足够, 因而没法探测到更高光子

更复杂形成, 反射 ΔE 小, 分辨率高: 转为 Bragg 衍射
通过各层厚度不同, New-Star (USA) 可以反射更清楚。
Bragg 衍射

再向 \rightarrow X-ray, Bragg 衍射也设计过
(只用到 20 keV)
可以编程控制



例如 INTERAL / 2 IS
SWIFT / BAT - 探测低能段

探测器阵列, 扫描源即可成像

读出光子 \rightarrow 读出光子方法, 可以去掉背景, 读出光子
读出光子尺度的光子。
(现在比不过 New Star, 30 年前做的管)

Compton Gamma 探测器, 读出光子 \rightarrow 读出光子 (102 keV \sim 10 MeV)

对产生电子 (100 GeV) e^+e^- 探测

读出光子 \rightarrow 读出光子, 利用光子切面扫描 (读出 Gamma, 产生电子碰撞产生 e^- , 读出即入射)
 e^- 切面扫描读出光子 (读出光子) ns 成像

e.g. HESS and VERITAS

不用 CCD 探测器 (CCD \sim 15m 读出光子, 读出光子, 读出光子)

探测器灵敏度

探测到的光子数量

(通常, $\alpha \cdot \rho \cdot t$ 探测到的光子数量
探测到的光子数量)

探测器: 光子数, 探测器, 光子数, 光子数

$$\sigma_{\text{探测}} = \sqrt{B A T} \cdot \text{time}$$

↑
area
 $\text{cts/cm}^2\text{s}$

流量, 流量, 流量, 流量

$$R = \frac{\sigma \sqrt{B A T}}{A T} = \frac{\sigma}{\sqrt{A T}} \left[\text{photons/cm}^2\text{s} \right]$$

↑
面积
探测器效率

注意 cts (counts) 和 photons (光子) 不一样, 探测器效率, 如 5cts 可对应 7photons

A, B, T, 流量, $\sigma \approx 3 \sim 5$ 探测器效率

空间望远镜背景来源

光子背景 - 宇宙射线 x, γ 光子

光子背景 x, γ (光子数, 光子数)

背景来源

宇宙射线背景

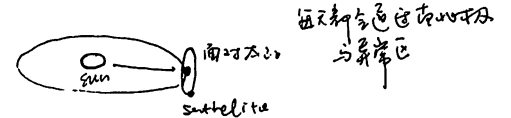
宇宙射线背景 (材料活化)

地球磁场背景

~ 探测器南大西洋背景区与探测器

因此, 南大西洋背景区与探测器

探测器背景区与探测器



每天新背景区与探测器

探测器背景区

探测器背景区

探测器背景区

Crab Nebula 背景区, $R = 1 \text{m Crab}$ 探测器背景区

探测器背景区, $\text{cts/cm}^2\text{s}$ 探测器背景区

探测器背景区, 探测器背景区

探测器背景区

比如, 探测器背景区与探测器背景区

因而, 探测器背景区

另外, 探测器背景区与探测器背景区

长时间后, 探测器背景区

探测器背景区, $\frac{1}{\sqrt{B A T}} = e_s$ 探测器背景区

探测器背景区, $t_{\text{max}} = \frac{1}{e_s \sqrt{B A}}$, 探测器背景区

探测器背景区, $R_{\text{min}} = \sigma B e_s$

探测器背景区, 探测器背景区

探测器背景区

Lec 3 吸收的吸积过程 (最核心内容)

2019.03.15 冯华 助教

吸积的：高吸积的吸积过程 → 高吸积的吸积来源
 吸积的吸积 → 高吸积的吸积过程
 吸积的：高吸积的吸积过程
 高吸积的吸积过程 → 高吸积的吸积过程
 双星中心物质转移

吸积的

吸积的吸积过程，吸积的吸积过程，吸积的吸积过程 $G M \dot{M} / R$

吸积的吸积过程

吸积的吸积过程

e.g. NS, $M=1.4 M_{\odot}$, $R=10 \text{ km} \Rightarrow \xi = 10^{20} \text{ erg/g}$
 $H \rightarrow He$ 吸积的吸积过程 $6 \times 10^{18} \text{ erg/g}$, 吸积的吸积过程
 WD $M=1.4 M_{\odot}$, $R=10^9 \text{ cm} \Rightarrow \xi = \frac{1}{50} \Delta E (H \rightarrow He)$

吸积的吸积 $\frac{dE_{acc}}{dt} = \frac{G M \dot{M}}{R} = \eta \dot{M} c^2$

η 吸积的吸积 (吸积的吸积效率)
 \dot{M} 吸积率

$\left\{ \begin{array}{l} H \rightarrow He \sim 0.007 \\ NS \sim 0.15 \\ BH \sim 0.5 \\ WD \sim 0.0015 \end{array} \right. R_g = \frac{2GM}{c^2}$, 吸积的吸积效率 $R_g \sim$ 吸积的吸积效率

NS 和 BH \rightarrow 吸积的吸积效率
 BH 有视界，吸积的吸积效率可以不停的吸积就进入 horizon.

吸积的吸积效率

吸积的吸积效率

(引力与辐射平衡)

assum: 吸积的吸积效率，吸积的吸积效率 H 吸积的吸积效率

σ_T 电子的 Thomson 散射截面 P_{rad} (吸积的吸积效率, Thomson 散射)

计算: $P = e$ 对引力 $G M \dot{M} / R^2$. 若 $G = h u$
 $P = \frac{h u}{c} \dot{M} \rightarrow \frac{dP}{dt} = f \cdot c \rightarrow P_{rad} = \int \frac{d^2 u}{c} / dt = \frac{L}{c}$

一个电子散射的辐射 $\frac{L \sigma_T}{4 \pi R^2 c}$

* $L_{Edd} = \frac{4 \pi c G M \dot{M}}{\sigma_T}$ 只与 M 有关
 $= 1.3 \times 10^{38} \frac{M}{M_{\odot}} \text{ erg.s}^{-1}$ (随 σ_T 的变化, 所以 ~ 1.5 变化)

吸积的吸积效率

$M \sim 10 M_{\odot}$, $L_{Edd} \sim 10^{39} \text{ erg.s}^{-1}$

SM BH $M \sim 10^6 M_{\odot}$, $L_{Edd} \sim 10^{46} \text{ erg.s}^{-1}$. 吸积的吸积效率
 吸积的吸积效率, 吸积的吸积效率
 吸积的吸积效率

吸积的吸积效率 $\sim h u$ (出射光子)

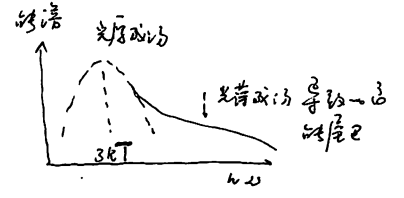
若以吸积的吸积效率 $T_b = \left(\frac{L_{acc}}{4 \pi R^2 \sigma} \right)^{1/4}$ → 吸积的吸积效率 → 吸积的吸积效率

若以吸积的吸积效率 $\frac{G M (M_p + M_c)}{R} = 2 \times \frac{3}{2} k T \Rightarrow T = \frac{G M \dot{M}}{4 \pi R^2}$

吸积的吸积效率 → 吸积的吸积效率
 (e.g. 吸积的吸积效率, 吸积的吸积效率)

吸积的吸积效率: $T_b \leq T_{rad} \leq T_{th}$ 吸积的吸积效率
 吸积的吸积效率

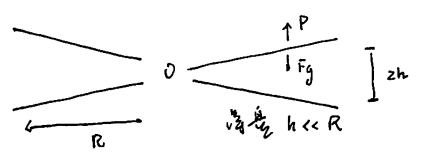
e.g. 吸积的吸积效率 $M=1 M_{\odot}$, $R=10 \text{ km}$
 $1 \text{ keV} \leq h u \leq 50 \text{ MeV}$
 WD: $6 \text{ eV} \leq h u \leq 100 \text{ keV}$



吸积的吸积效率, 吸积的吸积效率

海王星形变

assume: 质量 \ll 体积质量 $M_{disk} \ll M$. 自由下落



重心的平衡:

$$\frac{\partial P}{\partial z} = \frac{GM \rho \sin \theta}{R^2} = \frac{GM \rho}{R^2} \frac{h}{R}$$

重力加在力矩度量的 $\frac{P}{h} = -\frac{GM \rho h}{R^3}$

当地声速 $c_s^2 = \frac{P}{\rho}$ (和次声波有关)

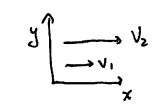
开普勒速度的 $v_p^2 = \frac{GM}{R}$ (和次声波有关)

$\Rightarrow h/R = c_s/v_p \ll 1$ for 薄盘

因为 $c_s \ll v_p$. 所以薄盘

所以薄盘不运动. 会流 Kepler 运动是平衡状态

中心是 ω 的 \rightarrow 吸积 (和台盘)



在 R 处半径 \sim 圆环

体积 $\sim G(R) = 2\pi R \frac{\partial R}{\partial R} (2\pi R H) R$

$= 2\pi R^3 \omega \frac{\partial \omega}{\partial R}$

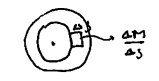
$\omega = \frac{v}{R}$ 的半径平衡

$\Sigma = \rho H$ 为面密度

$f_x = \eta \frac{\partial v_x}{\partial y}$

$f = \eta R \frac{\partial \omega}{\partial R}$ (和台盘)

\uparrow 平衡力矩 \sim 力



$\frac{\partial G}{\partial R} dR \rightarrow \omega \frac{\partial \Sigma}{\partial R} dR = \frac{\partial}{\partial R} (G(R)) dR - G \frac{\partial \omega}{\partial R} dR$

环上力矩 环上声功率 $[R, R+dR]$

未知项同是 \rightarrow 连续性

未知项也是和台盘平衡

平衡力和台盘平衡

$$D(R) = G \frac{\partial \omega}{\partial R} dR = \frac{1}{2} \omega \Sigma (R \frac{\partial \omega}{\partial R})^2$$

$\omega R^2 dR = 2\pi \times 2\pi R \times dR$

假设: $R = R_{kepler} = (\frac{GM}{R^3})^{-1/2} \Rightarrow D(R) = \frac{1}{8} \omega \Sigma \frac{GM}{R^3}$

行星的潮汐形变

assume: $H \ll R, \Sigma_0 = 0, \omega = \Omega_{Kepler}$

假设潮汐: $M = 2\pi R \Sigma (-2R) = \text{constant}$

行星的潮汐 $M \omega_p R = 2\pi R^3 \Sigma (-2R) \Omega$

潮汐频率 ω_p

行星的潮汐 $\frac{\partial C}{\partial R} dR$

潮汐频率 $\frac{\partial}{\partial R} [2\pi R^3 \Sigma (-2R) \Omega]$

两者相等

$G(R) + C = 2\pi R^3 \Sigma (-2R) \Omega$

加上 $G(R)$ 的导数 $\rightarrow -2 \Sigma \frac{\partial R^3}{\partial R} = \Sigma (-2R) \Omega + \frac{C}{2\pi R^3}$

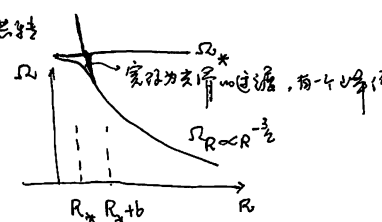
边界条件:

(潮汐的, 的通用性) 内边界 $R = R_* + b$ 处, $\Sigma(R_* + b) = \Sigma_k$

$\Sigma'(R_* + b) = 0$

$b \ll R_*$ 物质与行星形成盘时

而星盘可以流 $\ll \Omega_k$



所以 $C = -2\pi (R^3 \Sigma (-2R) \Omega)_{R_*+b} = 2\pi (R_*^3 \Sigma_k \sqrt{GM})_{R_*+b}$

$= -M \sqrt{GM(R_*+b)}$

$\approx -M \sqrt{GM R_*}$

潮汐的 ω_p 与行星的 ω 的潮汐

潮汐的 ω_p 与行星的 ω 的潮汐

潮汐的 ω_p 与行星的 ω 的潮汐

潮汐的 ω_p 与行星的 ω 的潮汐

潮汐的 ω_p 与行星的 ω 的潮汐

$$D(R) = \frac{1}{2} \omega \Sigma (R \frac{\partial \omega}{\partial R})^2$$

$$= \frac{3GM \dot{M}}{8\pi R^3} (1 - \frac{R_*}{R})^2 \approx \frac{1}{R^3}$$

潮汐的 ω_p 与行星的 ω 的潮汐

$$L_{disk} = \int_{R_*}^{\infty} D(R) 2\pi R dR \cdot z = \frac{1}{2} \frac{GM \dot{M}}{R_*} = \frac{1}{2} L_{acc}$$

即潮汐的 ω_p 与行星的 ω 的潮汐

粘滞流若以层流处理
 $D(R) = \sigma T^4 (R)^2 \Rightarrow T(R) = \left[\frac{3GM\dot{M}}{8\pi R^3 \sigma} \left(1 - \left(\frac{R_g}{R}\right)^2\right) \right]^{1/4} \propto R^{-3/4}$ $R \gg R_g \propto R^{-3/4}$

$T_{max} = \frac{4\sigma}{36} R_g \propto$ 最薄处
 在此处 $\frac{\partial T}{\partial R} = 0$ 没有差速旋转
 $T_{max} = 0.488 T_*$
 (所以最热的地方不在 R_g 处)

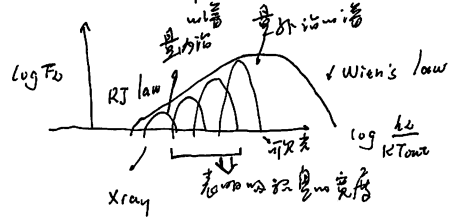
更近可以理解为
 $u = \frac{GM\dot{M}}{R}$ $E_R = \frac{u}{2}$ $\Delta u = \frac{GM\dot{M}}{R^2} \Delta R$

$\Delta E_R = \frac{GM\dot{M}}{2R^2} \Delta R$
 $\Delta E_L = \Delta u - \sigma_B R = \frac{GM\dot{M}}{2R^2} = 4\pi R \Delta R \sigma T^4 \Delta z$ $M = \frac{\dot{M}}{\dot{t}}$

辐射出去的能量
 即可就有 $T^4 \propto R^{-3}$

注意: 这里忽略了辐射的辐射压.

辐射吸收的谱: 多谱系平衡



辐射吸收的谱

$P = \frac{9kT_c}{m_p v} + \frac{4\sigma}{3c} T_c^4$
 辐射 辐射压

$F(z) = \frac{-1.6\sigma T^3}{3k\rho} \frac{\partial T}{\partial z}$ 辐射平衡的 光学深度 τ 的打
 辐射压
 Rosseland 平均 opacity

$D(R) = \int_0^H \alpha F dz = \frac{4\sigma}{3c} \left(\frac{4}{c} \frac{4}{H} \right)$

于是, 可以理解为上述的方程, 问吸积和辐射的系数 α 是多少

若 τ 足够大 $u \sim \lambda c$ / 理想气体的速度
 导致 α 平均的 α
 比值 $Re = \frac{u R}{\lambda \sigma} > 10^{14}$ 严重不稳定
 总吸积的 α

必然存在湍流

$\nu_{turb} \sim \lambda_{turb} \sigma_{turb} \propto \alpha S H$
 湍流尺可 湍流速度
 (又近似)
 这样, 它就封闭了 $\sim \alpha$ 的 model
 并且是 α 的解可见 α 很重要
 H 不稳定依赖于 α

粘性吸收是 model 的误差 范围

$M_{visc} \ll M_{infall}$
 $P_{rad} \ll P_{infall}$
 } 都占的是很小的

前向辐射 α 产生 α 的谱都由 Radiation 产生. 事实上, 如果 α 不稳定时 adv (对流) 也可传递能量.

$\left\{ \begin{array}{l} ADAF \rightarrow \text{极吸积盘} \\ \text{slim disk} \rightarrow \text{低吸积盘} \end{array} \right\}$ 都称为吸积盘

辐射的时间尺度

粘滞时间
 $t_{visc} = \frac{R^2}{\nu} = \frac{R}{V_R}$
 辐射时间
 $t_{ph} = \frac{R}{c}$
 热时间
 t_{th}

时标: 平衡被打破时, 重新平衡了所需的时间

双星中心的吸积过程:

两种吸积过程: 洛希瓣溢流 (Roche-lobe overflow) 风吸积 (wind-fed accretion)

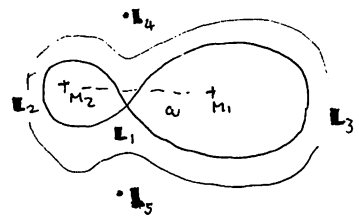
X-ray 双星的分类

恒星质量 > 1 M_sun 为硬 X-ray 双星 < 1 M_sun 为软 X-ray 双星 (决定恒星的质量)

双星中心的吸积是产生 X 射线的主要原因

对 ISM 的吸积不是主要原因 (计算 Bondi Radius)

双星轨道的引力势的等势面比较



洛希瓣的近似 $R_2/a = 0.462 \left(\frac{M_2}{M_1 + M_2} \right)^{1/3}$

$\rho = \frac{3M_2}{4\pi R_2^3} \approx 110 \rho_{hr}^{-2} \text{ g cm}^{-3}$

双星轨道的

质量转移时, 洛希瓣的占比

$q = \frac{M_2}{M_1} > 5/6$ 时, R_2 减小, 一定是风吸积, 不稳定, 持续短. $q < 5/6$ 时, R_2 增大, 风吸积, 其位置在洛希瓣以外, 不能继续吸积. (洛希瓣的引力波)

风吸积: 大质量恒星, 可达 $10^{-6} - 10^{-5} M_{\odot} \text{ yr}^{-1}$, $v_{\infty} \approx v_{\text{escape}}$, 可求得洛希瓣附近风速

结果: 星风经过洛希瓣, 吸积效率, X-ray 双星的亮度; 风吸积效率稳定

洛希瓣上的洛希瓣的洛希瓣

$E = \frac{1}{2} \rho v^2 (r_{L2} - r_{L1})^2$ 这是不对的, 向星方向洛希瓣中洛希瓣, 还有洛希瓣的洛希瓣 $-u_x r_x$

$= \frac{4\pi M_1}{2R_x} (1 - \frac{r_x}{R_x})^2$ ~ 洛希瓣的洛希瓣在洛希瓣中洛希瓣, 近似另一星, 在洛希瓣中洛希瓣

e.g. 洛希瓣的洛希瓣, 所以洛希瓣的洛希瓣

洛希瓣的洛希瓣的洛希瓣的洛希瓣

$\mu = B_x R_x^2$

$B \sim \frac{M}{r^3}$

$P_{\text{mag}} \sim \frac{B^2}{8\pi} = \frac{M^2}{8\pi r^6}$, 洛希瓣的洛希瓣的洛希瓣

考虑物质下落时洛希瓣 $P_{\text{ram}} = \rho v^2$, $v_{\text{ff}} = (2M/r)^{1/2}$

可知道洛希瓣 $r = r_{\text{M}} = 5.1 \times 10^8 M_6^{-2/3} m_1^{-1/3} m_2^{2/3}$ 时, 物质洛希瓣

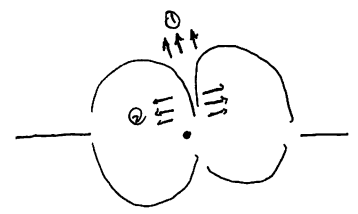
洛希瓣的洛希瓣, 洛希瓣的洛希瓣, 洛希瓣的洛希瓣

洛希瓣的 Alfvén 半径 $R_M \approx 0.5 r_M$

洛希瓣的洛希瓣, 洛希瓣的洛希瓣

(Beam effect: 洛希瓣的洛希瓣)

洛希瓣的洛希瓣 ~ 洛希瓣, 洛希瓣的洛希瓣, 洛希瓣的洛希瓣

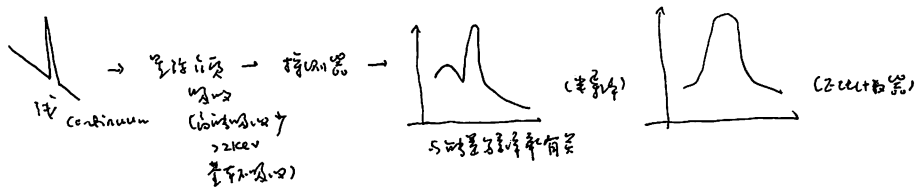


洛希瓣的洛希瓣, 洛希瓣的洛希瓣

洛希瓣的洛希瓣, 洛希瓣的洛希瓣, 洛希瓣的洛希瓣

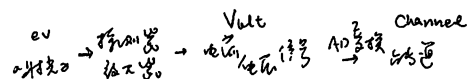
Swift-J0423 洛希瓣的洛希瓣

洛希瓣的洛希瓣, 洛希瓣的洛希瓣



如何由 output 得知 input?

1. 探测器 response



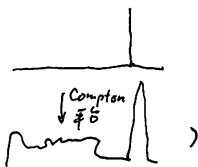
$Ch = aE + b$ ~ 一般认为是线性关系 (忽略非线性)
 可用实验来测定 Energy-Channel 关系
 (用已知能量的单能源)

计数误差与噪声引起的展宽

可以认为是线性的, 也有 non-Gaussian 的分布

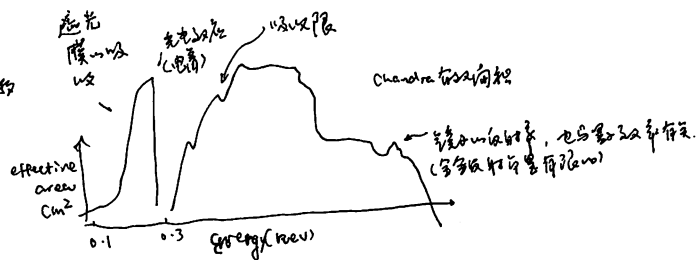
谱线的展宽 Compton 峰 (Compton 平台 + 连续谱)

引起计数分布 (Compton 平台 + 连续谱) 更复杂



2. 探测器有效面积

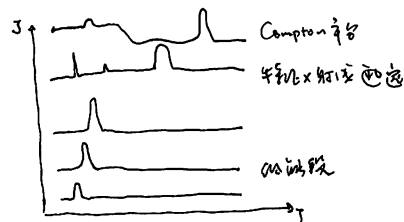
与探测效率 探测器大小 探测器量效率 ... 有关, 一般是能量函数



在地面上时效率低

3. 探测器响应函数

RMF (Reconstruction Matrix File) $R(I, J) = \begin{cases} R_{ij} & \text{if } E_j < E_i \\ 0 & \text{if } E_i < E_j \end{cases}$
 在探测器上多计数效率



AMF (Auxiliary Matrix File) 有效面积和探测器效率

探测器效率 $= \lambda \times \text{探测器} \times \text{RMF} \times \text{AMF}$

探测器响应函数, 用 I 表示 E

不同探测器, 因为探测器不同 (E 前系数, 探测器效率不同)

noise 是探测器噪声

可以写成模型

$C(I) = \int f(E) R(I, E) dE$
 探测器效率, 探测器效率, 探测器效率

$\chi^2 = \sum \frac{(C(I) - f(E))^2}{\sigma(I)^2}$
 minimize χ^2 即可

探测器效率与探测器效率

$\chi^2 + dof \rightarrow P$ 得到一些统计量, 一般是 50% 探测器效率 (探测器效率)

χ^2 分布, $\chi^2 = \sum \frac{(C(I) - f(E))^2}{\sigma(I)^2}$

各参数置信区间: 改变参数, 置信区间的变化, $\chi^2 = 1$, 即可得到

| Confidence | Parameters 数目 | | |
|------------|---------------|------|-------|
| 15 - 0.68 | 1.0 | 2.5 | 3.5 |
| 25 - 0.90 | 2.7 | 4.6 | 6.75 |
| 30 - 0.99 | 6.63 | 9.21 | 11.30 |

0.68 置信区间

1. 对已知 model 做拟合

2. Chandra 有效面积

参考 XPC 探测器

参考 论文 166.111.89.81

参考文献

讨论以下问题的解答及准备

讨论 恒星风 (一般只考虑恒星, 黑洞)

Eddington 光度 \sim 光子压力 \sim 恒星风
反冲力

恒星风的速度 \sim 逃逸速度 \sim 逃逸

恒星风的质量损失率 \dot{M} , \dot{M} 与恒星条件

恒星风的质量损失率 \dot{M} 与恒星条件

恒星风的质量损失率 \dot{M} 与恒星条件

恒星风的质量损失率 \dot{M} 与恒星条件

轴心: 光厚层的恒星 (用 T(H) S(TO))
恒星风的质量损失率

恒星风的质量损失率 \dot{M} 与恒星条件

恒星风的质量损失率 \dot{M} 与恒星条件

恒星风的质量损失率 \dot{M} 与恒星条件

恒星风的质量损失率 \dot{M} 与恒星条件

恒星风的质量损失率 \dot{M} 与恒星条件

恒星风的质量损失率 \dot{M} 与恒星条件

2019年3月29日

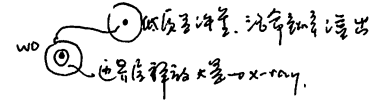
恒星风与行星风 SN7: 恒星风老师

恒星风与行星风: 恒星风 (Cataclysmic Variables, CV)

恒星风与行星风: 恒星风 (Cataclysmic Variables, CV)
CV = 白矮星 + 普通行星
恒星风与行星风: 恒星风 (Cataclysmic Variables, CV)
恒星风与行星风: 恒星风 (Cataclysmic Variables, CV)

CV 恒星风与行星风: 恒星风 (Cataclysmic Variables, CV)
恒星风与行星风: 恒星风 (Cataclysmic Variables, CV)

e.g. Dwarf Novae



恒星风与行星风: 恒星风 (Cataclysmic Variables, CV)

恒星风与行星风: 恒星风 (Cataclysmic Variables, CV)

恒星风与行星风: 恒星风 (Cataclysmic Variables, CV)

恒星风与行星风: 恒星风 (Cataclysmic Variables, CV)

恒星风与行星风: 恒星风 (Cataclysmic Variables, CV)

恒星风与行星风: 恒星风 (Cataclysmic Variables, CV)

恒星风与行星风: 恒星风 (Cataclysmic Variables, CV)

恒星风与行星风: 恒星风 (Cataclysmic Variables, CV)

恒星风与行星风: 恒星风 (Cataclysmic Variables, CV)

恒星风与行星风: 恒星风 (Cataclysmic Variables, CV)

恒星风与行星风: 恒星风 (Cataclysmic Variables, CV)

恒星风与行星风: 恒星风 (Cataclysmic Variables, CV)

恒星风与行星风: 恒星风 (Cataclysmic Variables, CV)

恒星风与行星风: 恒星风 (Cataclysmic Variables, CV)

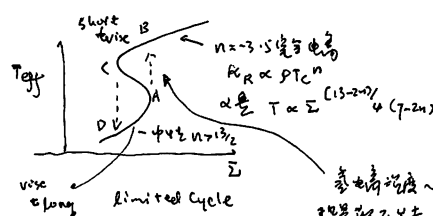
恒星风与行星风: 恒星风 (Cataclysmic Variables, CV)

恒星风与行星风: 恒星风 (Cataclysmic Variables, CV)

恒星风与行星风: 恒星风 (Cataclysmic Variables, CV)

恒星风与行星风: 恒星风 (Cataclysmic Variables, CV)

恒星风与行星风: 恒星风 (Cataclysmic Variables, CV)



恒星风与行星风: 恒星风 (Cataclysmic Variables, CV)

恒星风与行星风: 恒星风 (Cataclysmic Variables, CV)

Point

3号口不亮。~ 磁化率 (磁化率) 的陷阱 trap. 成为共振阱

双星中心中子星

~ 双星中心中子星

M: 中子星有上中子星 (磁化率), 但前不部有磁化率

中子星有磁化率灯塔效应. 日高子星到几千度

中子星内部结构模型: 内核, 外核, 中子物质, 内核区?

中子星内部结构模型: $\rho > \frac{3\pi}{4} \frac{c^2}{G} \rightarrow$ 流自. 所以流. 流不是由磁化率 ($\rho = 33ms$)

中子星内部结构: 磁化率表面以磁化率: 磁化率 model, 磁化率表面, 磁化率表面 (太冷) (n: 磁化率)

磁化率表面以磁化率: 磁化率表面, 磁化率表面

射电中子星 1967. Hewish and Bell

* 中子星磁化率中子星

磁化率中子星中子星 \rightarrow 磁化率中子星 $\Omega = -k\Omega^2$

Equation: $-\frac{dE}{dt} = \frac{2}{3} \frac{\ddot{p}_0^2}{c^3} = \frac{2}{3} \frac{4\pi m_0^2}{3c^3}$

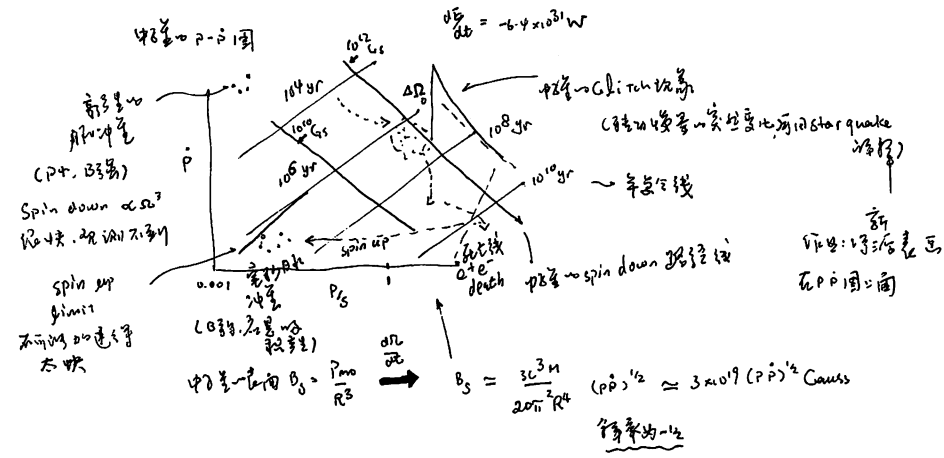
Equation: $\Rightarrow \frac{d\Omega}{dt} \propto -\Omega^3$ 磁化率 spin slow down

磁化率中子星中子星: 磁化率中子星, 磁化率中子星

\Rightarrow 磁化率中子星. 磁化率中子星

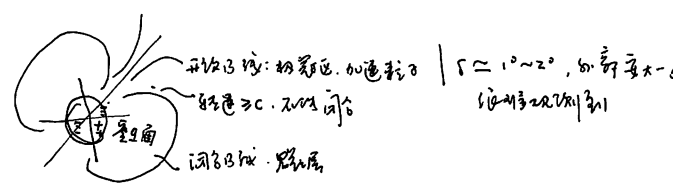
Equation: $t = \frac{\Omega}{-d\Omega/dt} = \frac{\Omega}{2\dot{\Omega}}$ (spin down 寿命)

磁化率中子星 $t = 10^8 yr$



磁化率中子星 $B \sim 10^{12} G$, 磁化率中子星 $\sim 10^{12}$

Equation: $E = 2 \times 10^8 \text{ statvolt} \cdot \text{cm}^{-1}$



磁化率中子星中子星: 磁化率中子星, 磁化率中子星

磁化率中子星中子星: 磁化率中子星

Equation: $T_0 = \frac{2\pi^2}{c^2} kT_0$

磁化率中子星中子星: 磁化率中子星, 磁化率中子星

磁化率中子星中子星: 磁化率中子星, 磁化率中子星

1.2. 黑洞的合并和并合

黑洞合并 → 高转速的 → 目前未知区域, 但也是已知区域 \in 极限
(Crab 脉冲星和 PSR 1509-58 → 脉冲星 - 10
Vela 不同转速 → 不同初始状态)

最有利的 I 区是 x-ray 的观测区域。

2. 黑洞的合并

$Z \rightarrow e^+e^-$ 的跃迁产生大量 e^+e^-

必须互相抵消, 强电的 (转速快)

BP 2.10¹⁰ Crs \leftarrow 脉冲星不是脉冲星
(脉冲星 → 死亡线)

脉冲星合并 { 形成脉冲星 (脉冲星, spin down) NS
伴星吸收, 加速

spin-up 的加速

晶体: 磁层 { 加速
内共转

Alfvén 半径 $r_m = \left(\frac{B^2 R^2}{8\pi M^2}\right)^{1/2}$ 处, 若磁层速度与 ΩR 相等, 则
不可逆 (不可逆, 坍缩与辐射)

+ 磁层梁辐射
↓
脉冲星 local
↓
spin up limit

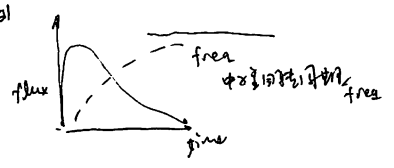
脉冲星合并 → 脉冲星 { 质量
角动量

转速 ↑ → spin up rate ↓

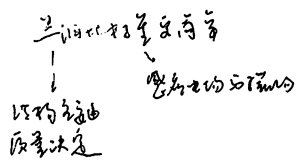
超新星的中子星: 新物质和物质积累, 磁层加速 \rightarrow 磁层中子星辐射

Reissner flux \uparrow → 磁层角动量

点状磁层, 磁层产生同轴性调制



Ch 6 黑洞双星



寻找双星中心黑洞 (脉冲星法)

star, 脉冲星 → x 射线长时曝光

脉冲星: 脉冲星, x 射线辐射, 脉冲星辐射

决定
质量是多大

脉冲星: 脉冲星, 1.4 M_⊙

中子星 $< \sim 3 M_{\odot}$

(物理过程不确定, 因此脉冲星辐射, 脉冲星是上限)

脉冲星: 脉冲星, 发出 x-ray
脉冲星, 脉冲星

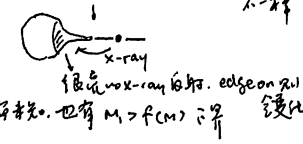
脉冲星, 脉冲星

双星质量测定

脉冲星法: 脉冲星 - 速度曲线 (脉冲星速度曲线 K_2 , Period.
(目前 20 个)

脉冲星法
脉冲星 Ω
脉冲星最大速度 K_2
质量函数 $f(M) = \frac{PK_2^3}{2\pi G}$

脉冲星, 脉冲星 M_2 , 再由克普勒曲线测定
脉冲星, 脉冲星



0.9. 2007 年, 第一对脉冲星中心黑洞质量测定

(kpc 内 → Mpc 外, 流场更弱, 光谱不易观测)

脉冲星, 脉冲星, 脉冲星, 脉冲星, 脉冲星
脉冲星, 脉冲星

脉冲星, 脉冲星, 脉冲星, 脉冲星, 脉冲星

脉冲星, 脉冲星, 脉冲星

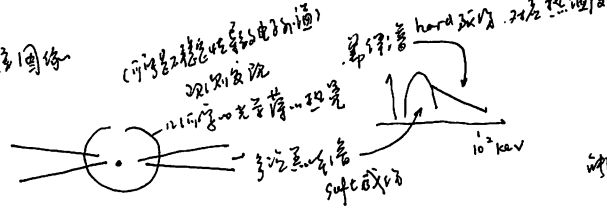
脉冲星, 脉冲星, 脉冲星, 脉冲星, 脉冲星

黑洞x射线双星辐射状态

LMXB 吸积流

HMXB 持续流 (High Mass x-ray Binary) ~ 星风子E的壳层形成

黑洞双星辐射图例



持续流 ~ AAF 模型, 可以解释 吸积流结构

吸积流: 吸积流, 和恒星风, 以吸积流量带入视界

$L_x \sim 10^{30} \sim 10^{33} \text{ erg/s}$, 可以比中子星更亮辐射

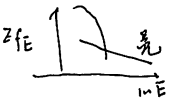
吸积流: 吸积流, 壳层, 恒星风

吸积流效率 $\tau(r) = \frac{\tau_{in}}{R_{in}^{3/4}} r^{-3/4}$

$L_{disk} \sim 4\pi R_{in}^2 \tau_{in} \dot{M}$, 与吸积率成正比

具有 R_{in} 是半径 (在中心吸积流到了最小子星周围轨道), 具有 L_{disk} 是总

所以可以限制黑洞质量, 因此.

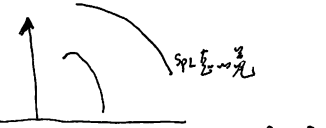
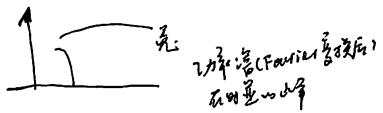


稳定态: 吸积流和x射线流具有强相关性 (吸积流才有强辐射)

Steeep Power-law 态:

出现在低吸积率 (可理解为吸积流) 此时标准模型不适用 研究得不清楚

中子星



LMXB 的壳层辐射

T 由壳层, 内盘, 壳层, 辐射. 能量由壳层和共同壳层 EFE



MV - E 模型

$L_v \propto L_x^{1/2} P^{3/2}$

x射线吸收壳层模型

黑洞双星的快速时变

(2FQPO 的壳层模型)

辐射效率, 不清晰

高吸积率时, 效率更稳定

辐射效率

如何限制黑洞质量与恒星质量

反常有壳层, 最低高吸积率, 效率 ~ 0.1, 辐射效率 ~ 无法限制吸积率 (1-2 M_sun)

可是不测质量

中子星有壳层, 可以解释吸积流

中子星辐射效率: 同吸积流 (与壳层有关), 可以有更快速时变

工业 x-ray x 射线 (吸收有壳层)

双星黑洞自旋: 比恒星更慢 (低吸积)

SMBH -> 壳层 x-ray binary -> 壳层不明显

$a_x = \frac{R_{ISCO}}{R_g}$

$R_{ISCO} = 6 R_g$
 $R_{ISCO} = R_g$

反常自旋 最快速自旋壳层有壳层

吸积流中有一壳层

$L_{disk} = 4\pi R_{in}^2 \tau_{in} \dot{M}$

可观测

问题 R_{in} , τ_{in} 限制. 高吸积率壳层模型 -> beam effect + doppler effect. 辐射效率 ~ 1

cos i 限制

$2\omega_i$
 $\omega_i \propto \frac{v}{R} \propto \frac{v}{R_{in}}$
beam effect 效率 ~ 0.2

可观测, 辐射效率 $\omega_i \propto a^*$ 一周年

ch7

实验 2 - x射线时变分析

不同吸积率下的能量分布: 2个壳层

离散 Fourier 变换

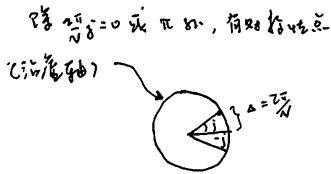
$$g = \sum_{k=0}^{N-1} x_k e^{i \frac{2\pi}{N} k} \quad (j = -N/2, \dots, N/2 - 1)$$

离散傅里叶 (k 的 Poisson)
 离散是等间隔的

$$P_j = \sum_{k=0}^{N-1} |g_j|^2 \quad (\text{Leaky 12-bit 的码})$$

因为 $\frac{1}{\sqrt{N}}$

$$\left. \begin{aligned} \langle P_j \rangle &= 2 \\ \sigma^2(P_j) &= 2N \text{ dof} = 4 \\ \sigma(P_j) &= 2 \end{aligned} \right\} \text{12-bit 的 } P_j \text{ 我们做加法与平均}$$



在 $P_j - N$ 图上, 每个 P_j 是独立 $\text{dof} = 2$ 的 χ^2 分布

$$\sigma(P_j) \propto \text{number of trials} \left\{ \begin{aligned} &\text{输出是普适} \\ &\text{(根据中心极限定理)} \end{aligned} \right.$$

Pushover 时变分析: 这 \rightarrow 将地震波列 \rightarrow 光口信号阵列 \rightarrow 记录室 \rightarrow

Parseval 定理: $\sum_{k=0}^{N-1} |x_k|^2 = \frac{1}{N} \sum_{j=-N/2}^{N/2-1} |g_j|^2$

$$\text{Var}(x_k) = \sum_k (x_k - \bar{x})^2 = \frac{1}{N} \sum_j |g_j|^2 - \frac{1}{N} a_0^2$$

↑
 高次项, 不关心, 总是抵消掉
 $|g_{-j}| = |g_j|$, 总是抵消掉

$$= \frac{N_{ph}}{N} \left(\sum_{j=1}^{N/2-1} P_j + \frac{1}{2} P_{N/2} \right)$$

光变 \rightarrow 均值

$$\text{rms mean} = \frac{\sqrt{\text{Var}(x_k)}}{\bar{x}} = \sqrt{\frac{\sum_{j=1}^{N/2-1} P_j + \frac{1}{2} P_{N/2}}{N}}$$

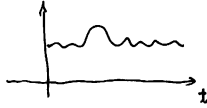
总 $\rightarrow \Omega_j = \frac{P_j}{\lambda} = \frac{P_j}{N_{ph} \lambda T} = \frac{P_j}{N_{ph} \lambda T} \cdot \frac{1}{\lambda} = \frac{P_j}{N_{ph} \lambda T}$

↑
 平均功率
 $\lambda = F$ 频率 \rightarrow 分辨率 (最高频率)

称为 rms normalization

$$(\text{rms mean})^2 / \lambda^2$$

单位与频率下的功率谱
 其 \rightarrow 物理功率谱



这 \rightarrow 信号 \rightarrow 功率谱
 rms mean 均值

而 Δt 决定 F 分辨率
 \rightarrow 最高频率

e.g. 100% \rightarrow 大振幅
 1% \rightarrow 小信号
 0% \rightarrow 直流

不同频率的合并和拟合

合并 \rightarrow 可以讲 Poisson 分布近似 \sim Gaussian ($N \gg 25$)

观察 \rightarrow 合并 \rightarrow 合并 \rightarrow 合并 \rightarrow 合并

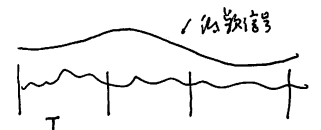
合并 \rightarrow 合并 \rightarrow 合并 \rightarrow 合并

合并 \rightarrow 合并 \rightarrow 合并 \rightarrow 合并

每个点

$$\sigma_{P_j} = \frac{P_j}{\sqrt{N_{ph}}}$$

(这个误差可以用 χ^2 拟合)



[$\Delta t = 1$] 内 \rightarrow 合并 \rightarrow 合并 \rightarrow 合并 \rightarrow 合并
 很低的 \rightarrow 信号; 往往
 是不稳定的

T 也不 \rightarrow 合并 \rightarrow 合并 \rightarrow 合并 \rightarrow 合并

不是 "合并" \rightarrow 合并 \rightarrow 合并 \rightarrow 合并

每次 \rightarrow 合并 \rightarrow 合并 \rightarrow 合并 \rightarrow 合并

QPO 信号拟合

$$\text{拟合} \rightarrow \alpha = \frac{2}{FWHM} \gg 2$$

↑
 相对宽度

实验选读

物理实验 C214

光学实验 六版
6B705
实验选读 选修3-2
二番6B802

选修3-2 选读 step1. 选读, 提供真实信息

step2. 开始选读实验
浏览 web

step3. 9-16 周 同一. 二下 1:30 ; 选读前预习(提前一周)

实验和量 26. 建设1

实验选读. 核物理每个做一个; 选读前预习, 口头由重校

每个实验可容纳2同学

讲义网上有, 有新加心实验(目录上选读)
23 和 26 的选读

选读制 (C214) 是 1 中 1 的 实验选读

zhao-zhang@mail.tsinghua.edu.cn

核物理实验选读与知识的放射性防护

1895年. Conrad Roentgen 发现 X 射线 (1901. Nobel Prize)

同时发现附近物质易产生荧光
不能穿透, 不透铝箔, 穿透力很强



1914 Lane. 1915 Bragg 1917 Barkla 1924 Siegbahn, 1927 Compton

1936 Pebye 先后 X-ray 获 Nobel Prize

1962 Penz 1962 Crick 1964 Cowfoot Hodgkin 1976 Lipscomb

1979 Cosmaek 1981 Siegbahn 1985 Hauptman 1988 Deisenhofer

是 13 获 Nobel Prize

1896年. Becquerel 发现铀 Uranium (1903. Nobel Prize)

第一次发现天然放射性, 2 年后第二次在实验室发现放射性物质现象

1897年 J.J. Thomson 发现电子 (1906 Nobel Prize), 后来发现中子的汤姆也获奖

打破原子不可分的观念

同时发现是带电微粒, 可在电场中偏转

1903. 居里夫妇 诺贝尔奖

1911 居里夫人 诺贝尔奖

1975 女儿玛丽 诺贝尔奖

1945 二女婿 = 女婿. 诺贝尔奖

1898年. Pierre Curie and Marie Curie 发现钋与镭 (1903 Nobel Prize)

1898年. Rutherford 证实了原子是氢原子核, 同时发现电子; 发现原子有核心
(Thomson 的原子) (1902年诺贝尔奖. 发现原子是可以分裂的, 而不是不可分裂获奖)

1900. Villard 在空气中发现 γ 射线

1932年 Chadwick 发现中子 (1935年 Nobel Prize)
(Rutherford 的预言)

变量问题 2 变量. 变量与问题

2 变量发出电子. 2 变量是连续变量; Pauli 指出. 还有一个中性的粒子的存在
守恒的量子数:

1920 Pauli 提出中微子的概念

1988年. 发现 μ

1995 发现 τ

实验: 2 变量谱测量, 同时得到寿命谱与能量谱.

实验的放射性

原子核 \rightarrow 原子核 \rightarrow 不成比例时, 可得发表要. 发出一条, 一条, 一条

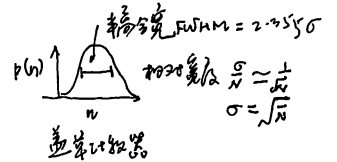
流量: $\approx 3.7 \times 10^{10} \text{ Bq}$

(1 Bq = 1 秒发生 1 次)

流量规律 (统计规律)

由核结构决定. 与外部条件无关
(温度, 压强)

单个核元流所差. 服从统计规律



指数衰变律 $N = N_0 e^{-\frac{t}{T}}$

$T_{1/2}$ 半衰期 8.04 天

物理与物质相互作用

高能电子的 (200) \rightarrow 高能 γ 射线

一张纸就可以阻挡 (空气中射程 23 μm , 空气中 8.8 cm) 5.3 MeV (^{240}Pu)

β 射线 \rightarrow 高能 γ 射线. 韧致辐射

空气中 $\sim 7.6\text{m}$ (空气中 $\sim 0.5\text{cm}$) for 2.27 MeV (^{90}Sr , 放射源)

α 射线 \rightarrow 光电效应

与能量 | 康普顿效应

有关 | 电子对效应

水中 17.5 cm (空气中 $\pm 8.5\text{cm}$, 空气中 0.28 cm) for 0.662 MeV (^{137}Cs)

10 厘米厚的屏蔽材料

快中子: 钚-239, 钚-241

慢中子: 铀-235 (裂变反应)

长 5.4cm, 高 6.1cm, 直径 6.8cm (两者质量相等)

直径 6.8cm

半径 6.6cm

各类探测器

无中子探测器

电子探测器

↓ 电离

阳极

~ 收集信号, 转化为电信号

优点: 成本低廉, 结构简单, 易制作成大尺寸

缺点: 分辨率差, 探测效率低 (探测截面小)

闪烁探测器

闪烁体

PMT → Cascode

优点: 探测效率高, 探测截面大, 探测效率因方便

缺点: 分辨率较差 (5% ~ 7% for Cs)

半导体探测器

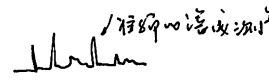
闪烁体

P-N结 产生电荷

收集电子, 产生信号

优点: 能量分辨率好, 探测效率高

缺点: 需要在低温下工作



放射性同位素

电子俘获 - 可电探测器, 与同位素作IP记录, 活度变化

正电子湮灭 - 闪烁探测器, 只有闪烁体

各种同位素应用 (与核工业品质有关) 可在核工业
H = D * W_r * W_t
与核工业有关, 不是解热量

放射性剂量单位 Sv (希弗) ~ J/kg

放射性活度: 1 衰变/秒, 1 Ci = 3.7 * 10^10 衰变/秒 Sv 是剂量, mSv 不是活度

5H 0.57 * 10^-2 Bq/day

220Rn

226Ra 0.01 Bq/day

食物中放射性物质

0.2mSv 东京~纽约之间飞行 (宇宙射线)
2.4mSv 工作正常, 一年~辐射量 (洗澡等)
6.9mSv 胸部透视和胸CT, 一次胸透 0.02mSv
100mSv 普通的人体辐射 (包括宇宙射线)
3000~5000mSv, 半数致死
7000~10000mSv 全致死

放射性的产生 - 放射性同位素
时间分布: 30年...
来源: ...

| | |
|----------|--------------|
| α | - 纸张 |
| β | 铝箔, 有机玻璃 + 纸 |
| γ | 铅, 铁, 混凝土 |
| 中子 | 水, 石蜡 |

操作时的注意: 同位素
不自打不穿, 小心辐射
实验室不能喝水吃东西, 离开前洗手 (避免污染)
实验室中即是污染源, 10mCi ~ 100mCi, 为核废料处理

ChB

激光干涉和超大规模集成

20190426

ALN 特点:

- 体积小, 集成度高
- 向光源, 和光耦合器, 耦合效率高
- 耦合效率高 (以 2000km/s 为光速的 1/3, 或 0.33 * 光速, 0.002 耦合)
- 耦合效率高 (以 2000km/s 为光速的 1/3, 或 0.33 * 光速, 0.002 耦合)
- 耦合效率高 (以 2000km/s 为光速的 1/3, 或 0.33 * 光速, 0.002 耦合)

相干射电话

射电的 80-85% 完成 + 射电的 15-20% 射电耦合

射电耦合 15-20% 射电耦合

Seyfert Galaxies 40年代

射电的 80-85% 完成 + 射电的 15-20% 射电耦合

质量

50年代 射电天文发现 HST 发现大部分 Seyfert 是椭圆星系

射电天文发现 HST 发现大部分 Seyfert 是椭圆星系

射电天文发现 HST 发现大部分 Seyfert 是椭圆星系

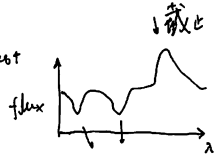
$t = \frac{L}{c} \approx 2 \text{ 光年}$

$t = \frac{L}{c} \approx 2 \text{ 光年}$

射电耦合 (耦合) L ~ 30km, D ~ 100km

Quasars Ly- α 截止:

有大量 Ly- α 森林 (Ly α Forest)



- 不同红移 Ly α Forest 多如吸收线
- 所有 Quasars 可同于红移以尺度结构
- 或有大星连续 Ly α Forest. 截止为了 - 截止

x-ray 可列是 Quasars 的 Type 1, Type 2

吸收程度 > 10²². 为 2 型 (若不是被尘埃掩盖) 否则为 1 型

射电星系

有 Jet - 2 型 FR, 大部分射电星系知识
有射电星系 = 型 FR
尺度 ~ 100 kpc

射电星系不同的生命

类星体 (Blazar; BL Lac Objects; OVV's)

BL Lac 有特征吸收线 Ly α , 有剧烈光变
与 Quasars 差别很大

LINEARs 和 ULIRGs

线状谱星系核区 (与 Seyfert Quasars 类似, 比 H II region 强) [O III] 发射线

大部分也是 AGN

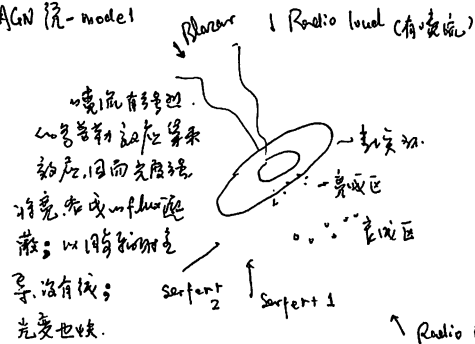
比 Seyfert 强, 但 Seyfert 有射电谱线 [O III]

星系核区星系的判断 - BPT diagram



[O I] / H α → 相像波长的吸收线, 避免消光的影响
大部分是 Seyfert, 没有消光就没有了
因而消光部分电高巨大

AGN 统一模型



中心引擎: SMBH

吸积盘:

$$\begin{cases} L \propto M \\ L \propto T^4 r^2 \end{cases} \rightarrow T \propto M^{-1/4}$$

↑ 面积 ↑ 吸积盘内径 $\propto M$
↑ 增加更快

光学的辐射峰值在 200 波段

光: 光污染

Radio Quiet Quasar (无喷流)

SMBH 存在的证据

AGN 的估计时间尺度

$$\tau = \frac{\text{光学的尺度} \times \text{吸积效率} \propto M}{c} = 10^4 \text{ yr}$$

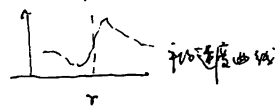
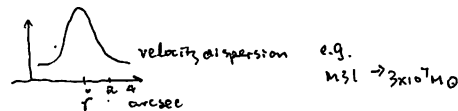
估计吸积效率可能为 1%

$$\text{SMBH } \tau \sim 0.1 \cdot L \sim 10^{45} \text{ erg/s} \quad M \sim \frac{L}{\eta c^2} \sim 10^7 M_{\odot}$$

黑洞质量估计

恒星动力学方法

相对论修正分布
初始条件是圆周的 → Bulkinann-恒星, Jeans 方程 → 恒星到黑洞的
恒星速度与光度成正比



银河系中央黑洞 $Sgr A^* M_{\odot} = 2.9 \times 10^6 M_{\odot}$
恒星动力学估计恒星运动



(2m 用恒星, 50 arcsec 的分辨率 + 射电波段)

两个团队

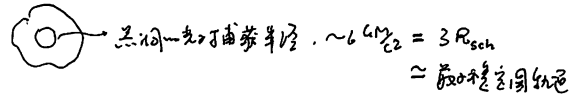
- 3m 的 ESO → VL

- 3m 的 Keck

Event Horizon 望远镜对 M87 * 黑洞的观测 采集24年在cm波段
现在得到mm波对黑洞的观测

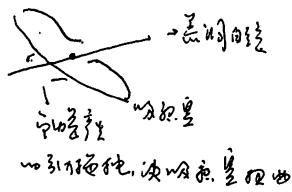
model: 光薄, 几何学 ADAF 是
差不多, 不对称

1.3mm 的辐射来自黑洞周围的气体



由于引力透镜效应, 中心圆变大到了 $10 GM/c^2$, 比如还受自旋影响

吸收量 $H\alpha \sim$ maser (水分子的爱泼芬射 → 单色性好, 可观测很远的距离变化)
可以间接地测量质量

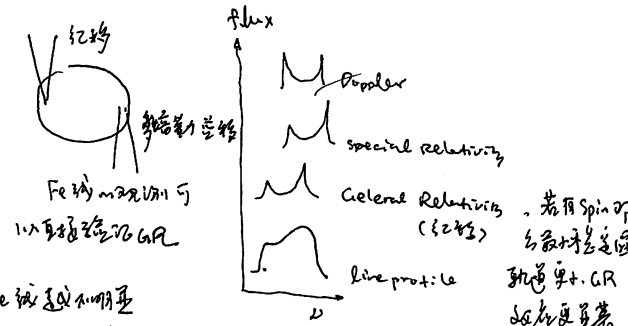


黑洞合并: 超大质量黑洞双星

NGC 624, Chandra 发现初始黑洞 AGN, 超大 AGN 可以迅速合并增长

黑洞星系核 → 辐射

吸收线 (氢, 氦, 氧, 铁) ...
吸收线: 氢-1, 氧, Fe II (宽线) ...



不同 AGN, 光度越大, Fe 线越不明显
(中心被完全电离了没有特征线)

同步辐射

逆 Compton 辐射 (~10^12, 可产生 Gamma ray) } 同步辐射 Compton 辐射

同步辐射
Compton 辐射

发射线区域的光度测量 mass

$$M = \int \frac{v_{BLR}^2 R_{BLR}}{G}$$

↓
model

宽线区-吸积, $v = \sqrt{GM/r}$
如: 环状盘内圆轨道

R_{BLR} 可用时间延迟 TC 来测 (很准) → 只有 50 个已测

另外, 宽线区尺寸与中央黑洞光度 L (电功率) 有关, 可借 L 来测 R_{BLR}

相互辐射功率: 吸积盘的辐射

* 射电辐射 (最大时变尺度, break frequency 来自黑洞质量)

并非所有星系中央都有 SMBH

$H\alpha$ 星系核中央没有 SMBH (无核光度) → 是气云 merge 星系, 而保留了宇宙早期的巨球形成 SMBH 前身 LMBH
黑洞和宿主星系的关系, $M-\sigma$ relation
可能是大质量恒星, 或超新星爆发

星系 bulge → 星团 → 星团与核的关系 (feed back?)
或 bulge

然而 bulge 中只有 0.1% 是 M_0 , 这很奇怪。
 $R_{bulge} \approx R_0$ 相差 9 个数量级

Introduction to Astronomical Linear Regression Analysis

1. OLS: Multivariate ordinary linear regression

拟合、预测
区间估计和
prediction

问题求解法: $y = \beta_0 + \beta_1 x + \epsilon$

response / predictor / regressor
随机误差 / random error

假设 $\epsilon \sim N(0, \sigma^2)$, 也即 $p(y|x) = N(y | \beta_0 + \beta_1 x, \sigma^2)$

$$\begin{cases} E(y|x) = \beta_0 + \beta_1 x \\ \sigma^2(y|x) = \sigma^2 \end{cases}$$

Data: $y_i = \beta_0 + \beta_1 x_i + \epsilon_i$

Least Square Criterion $S(\beta_0, \beta_1) = \sum_{i=1}^n (y_i - \beta_0 - \beta_1 x_i)^2$

点估计 $(\hat{\beta}_0, \hat{\beta}_1) = \text{minimize}_{(\beta_0, \beta_1)} S(\beta_0, \beta_1)$

$$\begin{cases} \hat{\beta}_0 = \bar{y} - \hat{\beta}_1 \bar{x} \\ \hat{\beta}_1 = \frac{\sum x_i y_i - n \bar{x} \bar{y}}{\sum x_i^2 - n \bar{x}^2} \end{cases}$$

可以证明: $\hat{\beta}_0, \hat{\beta}_1$ 的估计是无偏的

并且 $\sigma^2(\hat{\beta}_0)$ 和 $\sigma^2(\hat{\beta}_1)$ 都可计算

$$\begin{cases} \sigma^2(\hat{\beta}_0) = \frac{\sigma^2}{n} \\ \sigma^2(\hat{\beta}_1) = \sigma^2 \left(\frac{1}{n} + \frac{\bar{x}^2}{S_{xx}} \right) \end{cases}$$

$\sum \epsilon_i = \sum (y_i - \hat{y}_i) = 0$
 $\sum x_i \epsilon_i = 0$

$\sum \epsilon_i^2 = 0$
 $E(SS_{Res}) = (n-2)\sigma^2$

$SS_{Res} = \sum (y_i - \hat{y}_i)^2$ Residual Sum of Squares
 $SS_T = \sum (y_i - \bar{y})^2 = \hat{\beta}_1^2 S_{xx} + SS_{Res}$ Total Sum of Squares

$\hat{\sigma}^2 = \frac{E(SS_{Res})}{n-2} = MS_{Res}$ mean Sum of Squares

区间估计 $E(y|x_0) = \beta_0 + \beta_1 x_0$

$Var(\hat{y}|x_0) = Var(\hat{\beta}_0 + \hat{\beta}_1 x_0) = \sigma^2 \left[\frac{1}{n} + \frac{(x_0 - \bar{x})^2}{S_{xx}} \right]$

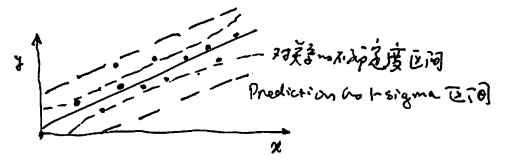
关系: 估计区间, 由于 \hat{y} 符合分布, 所以为

$\hat{y}|x_0 \pm t_{\alpha/2, n-2} \sqrt{MS_{Res} \left(\frac{1}{n} + \frac{(x_0 - \bar{x})^2}{S_{xx}} \right)}$

统计误差: 误差, Sample 引起 \rightarrow 可估计
系统误差: model no bias, \bar{y} error \rightarrow 可校正
未知误差: 其他未知因素, 未知 \rightarrow 可估计
e.g. iid 不成立, 来自 error, 变量的影响

Prediction 的 $E(\hat{y})$ 估计

$\hat{y}_0 = \hat{\beta}_0 + \hat{\beta}_1 x_0$
 $Var(y_0 - \hat{y}) = \sigma^2 \left(1 + \frac{1}{n} + \frac{(x_0 - \bar{x})^2}{S_{xx}} \right)$
总方差



MLR: multiple linear regression

$\hat{y} = X\hat{\beta} + \epsilon$
 $\hat{\beta} = (X'X)^{-1}X'y$ transpose

$\hat{\sigma}^2$ 都可以得到 = $MS_{Res} = \frac{SS_{Res}}{n-p}$ ($p=R+1$)

估计的区间估计 也可以得到, 双变量

Weighted Least Square (WLS)

各个 Error 之间 不相等, 但 Variance 不同, 则应该为加权求和 Sum of Square

Maximum likelihood Estimation (MLE)

least square 无偏
S error 的分布无关系
可做假设 testing, CI 构建 (如果假设 error 分布)

MLE: 对分布, 你有一个分布是 e.g. $NID(0, \sigma^2)$

对 β_0, β_1 的估计, 和 OLS 一样.

但对 $\hat{\sigma}^2$ 的估计 是有偏的 (估计无偏, 低估了方差)

Ch9 第七章 相对论喷流
 黑洞的吸流
 吸流或粒子流的产生机制
 高能天体物理问题
 粒子加速机制 → 吸流
 磁流 E, G, P, B
 F 加速的效应

成因并没有明确的解释

x 射线的吸流

吸流 $\sim AU \sim 10AU$
 连续 (辐射的);

大尺度的吸流 $\sim pc = 20 \times 10^4 AU$
 离心的; 在旋转时产生

碎在更远的下列: VLBA 观测流

1 因子往往比较大

$F_L \propto \omega^2$, $\omega \sim \gamma^2$
 可用 γ 的 ω 的平方
 而速

射电的 x ray 流强在附近的相文法, $\alpha \approx 0.7$

吸流 相对论 流在同时观测
 子流在 3 个阶段, 所有流都是
 称为更远的吸流 fundamental plane
 (在 AU 量也有类似的 x-ray, radio 相文法)

吸流的不同源
 L_J 吸流总功率
 L_x x-ray 辐射功率
 L_R radio 光度

from 光源同步辐射

冲流, 以 jet 所携带

$$L_R \propto L_J^{1/2} = L_J^{1/4} \rightarrow L_T = L_x + L_J = \dot{m} c^2$$

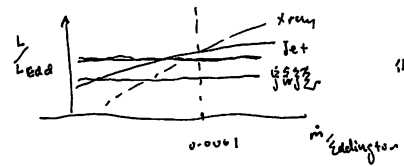
$$L_R \propto L_x^{0.7} \rightarrow L_J = L_x^{0.5}$$

from 观测

吸流量 $\propto \dot{m} c^2$
 x-ray 辐射 $\propto \dot{m} c^2$
 radio 光度 $\propto \dot{m} c^2$

当 $L_x \gg L_J$ 时, $L_x \propto \dot{m}$, $L_J \propto \dot{m}^{0.5}$
 (相流量一致)
 当 $L_x \ll L_J$ 时, $L_x \propto \dot{m}^{1/2}$, $L_J \propto \dot{m}^{1/2} = \dot{m}$

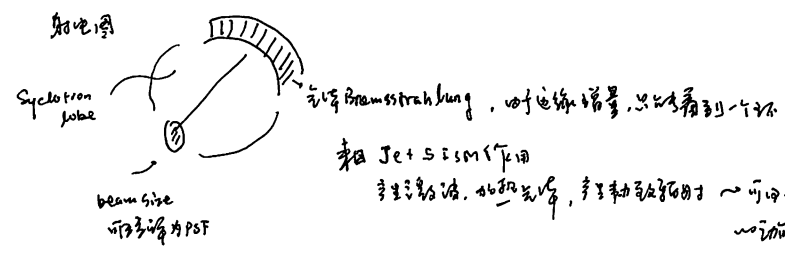
两相流 相变界的位置 $L_x = L_J$



吸流和 jet 的 Jet 功率

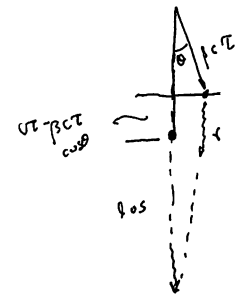
是随着 \dot{m} 的增大, 中子星比黑洞亮

所以中子星比黑洞更亮而可观测 Jet 的吸流是黑洞吸流了



大尺度的吸流

在超光速运动 - 视觉效应



当 $\beta > \cos \theta$, $v > c$ 时
 可出现视觉超光速 - 也即, 视觉超光速时, 是相变时的吸流

观测 TRGB 的流
 观测 Full filter
 Ia SN 流

如果同时观测到两个吸流方向
 v_r 垂直于 jet 的向速度, 就能研究粒子的流
 v_a 如粒子已知, 就能求得吸流速度与倾角

吸流和 jet 的相对速度

$$\delta_a = \frac{v_a}{c}$$

$$\delta_r = \frac{v_r}{c}$$

流和 jet 的相对速度 (速度比之流不常)

可以观测到 jet 的辐射 (流和 jet 的相对速度) 所以只能看到一个吸流

流和 jet 的相对速度 所以只能看到一个吸流 AU jet 只有看到一个吸流

2. Astronomical Data

系统误差: 对不同的系统, intrinsic 关系可以不同

测量误差: 左右不同系统
与测量有关.
有选择效应.

有饱和数据和零检测 (non-detected data)

error 之间有关联 (e.g. V and B-V)

问题: regression line $f(y|x)$ or $f(x|y)$

将 OLS 估计与统计语言

$$\hat{\beta}_1 = \frac{Cov(x,y)}{Var(x)}, \quad \hat{\beta}_0 = \bar{y} - \hat{\beta}_1 \bar{x}$$

y as a function of x

$$\hat{\beta}_1 = \frac{Cov(y,x)}{Cov(x,y)}, \quad \hat{\beta}_0 = \bar{x} - \hat{\beta}_1 \bar{y}$$

x as a function of y.

OLS 有缺陷的回归法

x|y.

y|x

bisector

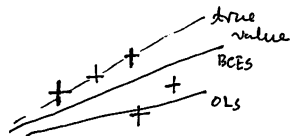
最佳拟合线

Bivariate Correlated Errors and intrinsic Scatter (BCEs estimator)

$$x = \pi' + \sigma_x, \quad y = y' + \sigma_y, \quad \text{且 } \sigma_x, \sigma_y \text{ 有相关性}$$

$$\text{关系为 } y' = \beta_1 \pi' + \beta_0 + \epsilon$$

$$\text{立即可得 OLS 估计 } \hat{\beta}_1 = \frac{Cov(x,y) - \langle \sigma_x, \sigma_y \rangle}{Var(x) - \langle \sigma_x^2 \rangle}$$



总轴误差不可忽略

Intrinsic and measurement WLS

既有 intrinsic variance,

又有 measurement variance 为:

单位误差也不同

FITEXY 法使用. 拟合与拟合质量

$$\text{minimize } f^2_{FITEXY} = \sum_{i=1}^n \frac{(y_i - \beta_0 - \beta_1 x_i)^2}{\sigma_y^2 + \beta_1^2 \sigma_x^2}$$

改进 x 轴. 也包含 y 轴的误差

Bayes estimator (Kelly 2007)

$$\eta_i = \alpha + \beta \xi_i + \epsilon \quad (\text{intrinsic})$$

$$\begin{cases} x_i = \xi_i + \epsilon_{x,i} \\ y_i = \eta_i + \epsilon_{y,i} \end{cases}$$

$$\xi_i \sim p(\xi_i | \psi) \rightarrow \text{假设 } \xi_i \text{ 独立同分布 } \sum_{i=1}^n \xi_i \sim \mathcal{N}(n\mu, n\sigma^2)$$

$$\begin{cases} \eta_i | \xi_i \sim \mathcal{N}(\alpha + \beta \xi_i, \sigma^2) \\ y_i, x_i | \eta_i, \xi_i \sim \mathcal{N}(\eta_i, \xi_i), \xi_i \sim \text{测量误差 } \epsilon_{x,i}, \epsilon_{y,i} \text{ 独立} \end{cases}$$

$$\text{Likelihood of data } p(x,y,\xi,\eta | \psi) = p(y|x,\xi,\eta) p(x|\xi,\eta) p(\xi|\psi)$$

$p(x,y | \xi,\eta)$ 也可用 marginal 得到. 仍然是独立同分布的假设.

选择可以用 MLE. (LINMIX 是线性)

或者 Bayes 若 $\sigma \rightarrow \infty$, 则与 OLS 是 flat 分布

FITEXY 和最大似然 MLE 并不相同

non-detection data, 可以作为一个特殊处理. 拟合到模型中

建议使用 BCEs 或 LINMIX

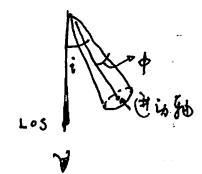
喷流的物质成分

电子/电子 还是电子/质子?

只有新发现的 933 得到了证实。有 B 和 He I 线系 (红色的氢与氦谱)



He 有 160 天 周期变化 → 喷流在运动



模型拟合可得 Jet 的速度, 中心角速度, 及运动的周期

而且, VLA 可分辨 resolve Jet. 发现喷流的速度也在变化 0.2c ~ 0.2c

933 → x 射线辐射

Fe Ni 系的高次谱线 也可被观测到 说明还有重元素的存在

J1550

另一个带 x-ray 喷流之源: Chandra 光栅的测量是模型发现, 其是碰撞激发的 (激波加热)

往 x-ray. 光谱是低能的 最慢者, 估计是同步辐射

假设流量均匀, 即可估计流量, 也可以估计到明日的电子流量 → 双向流

可证明 $\dot{M} \propto B^{-2}$ 电子流量也 Compton 散射, 也可观测到 Gamma 光子

因此, 若有 x-ray 喷流, 一定是极快的电子.

双向流的电子可被是 Jet + ISM 碰撞, 激波加热产生

喷流的 x-ray, radio 联合观测, 可推断 Jet 产生图像

射电射电观测的内部结构
(x-ray 辐射减弱) 产生 Jet, 然后绝热膨胀冷却 (红外光最亮, 然后 radio 是最亮)

AGN 的喷流

对射电观测表明: 喷流产生与 x-ray 降低 -- 对应

喷流的内部结构:

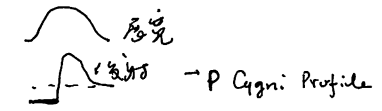
两个 relativistic 源, 爆发性光学 (微弱的) 改变.

推测: 喷流内部有螺旋结构的



螺旋流到此, 1) 与磁场的相互作用 激波向前传播时, 就有更小的 B, 也有更小的辐射

吸积盘与外流: Jet 与盘的关系



低吸收率 强发射, 高吸收率 弱发射, 低吸收率产生盘风

两种模型都大相径庭

和黑洞洞相符

中子星中心相对论喷流

只有一个源, Circinus x-1 双源模型相对论喷流

有少量 x-ray 暴, 一定是中子星

Jet 的速度达 15c, 应像双极相对论的喷流

- 若喷流是吸积产生, 中子星, 黑洞在吸积有
- 中子星快速旋转的 KH 不稳定性的限制
- 所以若喷流与中子星或黑洞有关, 不可做中子星没有

寻找x-ray 源的软X射线观测

最近观测 了解星团性质;
研究物理; 特别是对于 f-ray. 高能光子对应位置
但是星团性质可以
探测本星系的软X射线

Chandra 分辨率 $\sim 1 \text{ arcsec}$

分辨率 $\sim 0.8 \text{ arcsec}$ (90% 分辨率)

HST 分辨率 $\sim 0.1 \text{ arcsec}$, 分辨率也高

但是分辨率对 astrometry 不好 (HST 本身的问题)

在 HST 上做对 astrometry: 用 ZMASS 测量星团 (星团直径)
可达 100 mas 精度

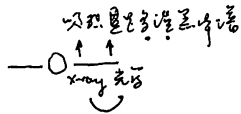
70 倍 Chandra 和 HST 图像: 由于 HST 分辨率低, 在 Chandra
的 x-ray 误差比 HST 的分辨率高, 无
法区分星团 - 无分辨率

可成一些软 X-ray, 又有光子流, 事件

测光系统 Johnson-Cousins UBVRI 系统

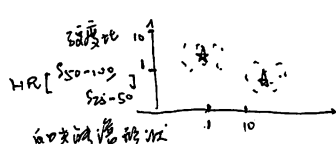
望远镜口径不同 (F555W HST 与 Johnson V 只是口径)
wide filter

HST 与 Johnson 滤镜或相近的 filter, 做深曝光, 用 CCD 来接收

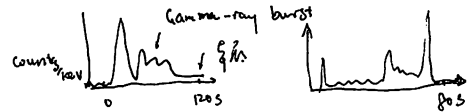


光子流密度 $L = 4\pi R_{eff}^2$ 光子 $\sim T_c$
光子流密度 $\frac{T_c^4}{\pi} \sim T_{eff}^4$
平均

所以, 增加 T_{eff} 也增加光子流, 但
 T_c^4 增加不明显, 因而光子流增加不
明显 (相当于增加了厚度, 而不是
光子流密度改变)



发现: 1979年, 美国海军卫星 Vela (用于核试验监测) 首次探测到 Gamma 射线暴
之后又有几次探测; 1993年发表于 ApJ.

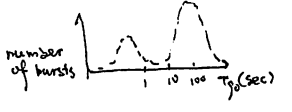


Gamma 暴的时变特征

频率 $\sim 1/2$ 每天, 总共 105 小时. 世界范围内观测
频率比, 可持续 10^3 天, 无规律

时间尺度: $t_{90} = 95$ 光子到达时间 - 5% 光子到达时间; 也可用 $t_{50} = t_{75} - t_{25}$
也可以用半高宽, 但不够准确, 不好描述

长度与频率: Gamma 暴可以用 $2s$ 为长度与频率 (精度: 造成 Gamma 暴的源不是一个点
是 ~ 4 倍时标, 连续数据相加)



分辨率比后
长时标暴, 短时标暴

分布, 在更短的时间也有新地
no Gamma 射线暴 (高能暴活动)
高能光子流, 产生高能
Gamma ray

Gamma 暴的时标分布

$0.1 - 1 \text{ MeV}$ 能量范围
能量范围 $\sim 10 \text{ keV}$ (能量范围在 1 MeV , 但光子数在更低的)
能量范围大, 分辨率可用两个光子流的分布描述 (Band 谱)

Gamma 暴的空间分布 CRO / BATSE 观测

由于位置有限, 只有 4 个轨道, 加上时标: 观测到和短时标暴
多个探测器, 不同时间, 可测量 Gamma 暴来向 (5° 精度); 允许全天观测
分布流分布

总数 2704 个 Gamma 暴事件 (Fluence, 积分流量; Rate, 流量)
Gamma 暴的空间分布不均匀 - 不是相对于银河系、太阳系; 应该具有宇宙学起源

(e.g. Fermi 的 Gamma-ray 可以探测到银河系 Gamma-ray, 来自银河系
分布)

是否是均匀分布 $L = 4\pi R_{max}^2 C_{min} = 4\pi R^2 C_{max} \rightarrow$ 流量 peaks 是一个统计量

Gamma-ray 的分布
分布范围 R_{max}

$\langle \chi^2_{max} \rangle = 0.3$ 因此 Gamma 暴是空间均匀的, 可认为是不同红移的分布

Gamma 暴的 afterglow (余辉)

慧太的 BeppoSAX

与伽马暴相联系的星 (海王星) 或行星系统 follow up 观测

1997 首次探测到 Gamma-ray 暴后有 x-ray 余辉, 流强与伽马暴一致 (流强与伽马暴一致) → 也可以说 x-ray 暴

通过 x-ray 的暴余辉, 也在同一位置观测到了光学对应体 → 一个角秒的行星系
证实了 Gamma 暴的宇宙起源
光变: 伽马暴
z=0.85

Gamma 暴的相对论性喷流问题

E=10 附近 $2\gamma c^2$, 其能量是各向同性的一喷流问题

光变观测到 ms, 对应距离 300km, 通过计算得到 $\gamma \sim 10^2$ 得到在 γ 区域内有大质量星, 不应该辐射出来 - 致密性问题

最初认为相对论性喷流运动, $\gamma=100$, 即可解释问题 (能量不各向同性; 几何大小变)

因此解释是喷流

喷流和观测证据: 能量在时间上的分布, 与效率无关

解释是 10^2 自天区

不可不通过的量级高流强自洽

GRB 的能量可估计为 $10^{51} \sim 10^{52}$ erg, \Rightarrow SN 的能量类似 (非常窄的分布)

可解释核反应出壳, 被延伸到 $z=10$

GRB 的物理论断

HETE-2 探测器 (2000~2007), 目的是建立 GRB 全球协同网络 (GCN)

可在几分钟内将探测到的伽马暴做 follow up

Swift (2004 至今), 专门的 GRB 探测器, 自转速度 1.5s \rightarrow 50°

每年 90 暴左右, 几年的有长暴都探测到 x-ray 余辉, 其中一半还有光学余辉

长暴的余辉都是 star-forming 的, 且与 star-forming region 成协

长暴的余辉中心分布与恒星分布一致, 表明 GRB 所产生的是大质量恒星坍缩形成 (即, 超新星 SNe)

后来, 证实 GRB 和 SNe 有强关联性, 但并非所有的 SNe 都产生 GRB

有 beam 效应, 指向性很强, 并非所有 GRB 都有 SNe 对应 (并非所有 SNe 都有 GRB 对应)

只有自天区伽马暴都有 SNe 成协

问题: 不是没有余辉都探测, 无观测证据, 仍然无法解决

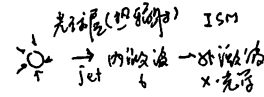
2005

Swift 首次探测到长暴余辉, 5 个观测站联合观测 (观测有大质量 star)

HETE-2, Chandra, HST 联合观测确定了长暴余辉的位置, $z=0.16$,

位于不规则星系的边缘

| 长暴 | 短暴 |
|----------------------|--------------------|
| 星系的形成 (star forming) | 发生在大质量 star 死亡后 |
| SNe 成协 | 与 SNe 成协, 是 SNe 成协 |
| 与长暴 star 成协研究 | 与 SNe 成协 |
| | 可能是双星成协 |



也可以说是长暴的喷流与恒星成协 (即, 长暴的喷流与恒星成协)

利用天区上的角向 POLAR 观测 GRB 的偏振

(Compton 散射)

只探测偏振的偏振 (即, 偏振的偏振)

解释了长暴的偏振的 GRB 模型

GRB 研究的延伸:

宇宙早期的探测 (可追溯到 $z=10$) - 而五年前是长暴, 不能捕捉光学余辉
恒星的形成与长暴的探测 (z=5, GRB 可追溯到 18mag) - 而五年前是长暴, 不能捕捉光学余辉
而长暴只能追溯到 18mag

与长暴成协, 可研究

NS-NS
BH-NS 成协

中子星成协的长暴辐射

tidal 瓦解中星 \rightarrow 抛出物质

NS-NS 成协成 BH, 以及长暴成协, 通过长暴抛出物质

抛出中子星物质, 产生长暴的辐射, 产生长暴的辐射 (r-process, 中子星)

BH 合并成 SNe, 产生 GRB 和长暴

17 年, 三台引力波探测器对 NS 合并事件进行了探测: 1.7s, Fermi 探测器探测到长暴; 10.9s 的探测

LIGO Hanford Livingston Virgo 28 days 的探测, 证实长暴
与长暴成协的长暴辐射

到光学对应体
上面有一个 SNe 三
长暴成协

9天后, Chandra 观测 X-ray 光谱
16天后, 地面看到自身电话

通过联合 SSB, 可证明超新星一个 kilo nova
(包括如如如如)

也在明, 中子星并合是形成重元素的主要机制
Siegel 2019, 认为, 大质量恒星的塌缩也可产生中子星
盘, 并是产生重元素的主要机制

170天后, 光学通量衰减, 与喷流 model 符合
(VLSBS 也记录 jet 产生 3 射电)

意义: GW170817 证实 GW 速度

引力波与电磁波 → 机制 (波 GRB 由物质未巨爆炸形成)
为重元素 → 形成 的 机制 提供 证据
GW 可探测到 8b, 提供以 hubble 的 新 渠道

双中子星并合后的产物

稳定中子星, 超新星爆发, 形成后坍缩为 BH
supermassive NS (100s) → BH
hypermassive NS (10-100ms) → BH
黑洞
Rauscher 2013, 100s 后下塌 条件
薛津泉 2019, 100s 后下塌 条件

第九章 超新星遗迹

20160610
冯岳 杨丁亮
Thur 蒙民伟 杨俊楼 S327

SN 在退光比末期, 前质量 m 为 > 8M_⊙

不同损失 mass loss
坍缩过程 no mass loss } 正常不异常

核心在引力坍塌, 抛出以波量 巨 致 大部分 物质, 剩下 NS/BH.

光学 SN 遗迹
如地, 光学, X-ray 来自外层
X-ray - 吸收 物质, 也可有 吸收
光学 吸收, 没有 质量 注入 (一直 坍缩)

类型 超新星遗迹 (日本 冲绳 风云)

中间壳 辐射 类似 Crab, 或 脉冲 星云
X-ray, 射电 光学 射电 中间 壳; X-ray 是 非 热 辐射
内部 是 湍流; 质量 全部 被 吹 散 的 星云 持续 注入 (信息 守恒, 可以 沿 巨 力 加速) → 所以, 天文学家 总是 一般 不 称为 SN 遗迹

超新星遗迹 Cygnus Loop, 处于 Sedov 末期, 冷却 初期
速度 可用 中心 质量 的 湍流 来 估计. $R_{now} = 20pc$
(绝热 膨胀)
 $V_{now} = 15 km/s$ (12 级) $t = 0.4 \frac{R_{now}}{V_{now}} = 6500 yr$
同时刻, SN 爆发, 抛出 m_0 , 以 E_0 初速度 ($v \gg c_s$, 因而 有 激波)
形成 中子星 及 壳层 $\rho = 2m_0 / 4\pi r^2 \Delta r$
(初始 质量 半径 半径)
 $T_1 \sim 2 \times 10^5 K$
同时刻, 激波 面 速度 v
通过 ISM, 将 其 推 至 激波 前.

$m_0 \gg \frac{4\pi}{3} \rho_0 R_0^3$ 时. $m_0 v_0 \sim m_0 v_s(t)$, 速度 不变, 自由 膨胀 E_0

Sedov 阶段: 绝热 膨胀
激波 面 速度 同 R_{now} , 同时 有 反 射 激波
此时, 不再 有 质量 注入

经过 质量 m_0 , 比 时 动 力 学 由 E_0 初速度
物质 ρ_0 决定

$Z_0 \sim m c^2$
 $\rho_0 \sim \frac{m c^2}{R_0^3} \sim (R_0)^{-2} \sim R_0^{-2}$
 $R \propto (Z_0 / \rho_0)^{1/5} \propto t^{2/5}$

Taylor 用 此 公式 估计 了 原子 弹 爆炸

Sedov-Taylor 阶段

$t = 0.4 \frac{R_s(t)}{v_s(t)}$
激波 面 速度 同 R_{now} , 同时 有 反 射 激波
因此

加热后 $P_1 = \frac{3}{4} \rho_0 v_s^3$
 $T_1 \sim 10^4 (v_s / km/s)^2$

因此 $10^4 km/s$, 就可 产生 $T_1 \sim 10^7$ 的 温度, 可 产生 X-ray

冷却 阶段: 壳层 $T < 10^6$ 时, 电子 壳 元素 开始 复合, 产生 重 离子 (进 一 步 的 冷却, 复合, 是 反 激波)

湍流 阶段: $v_s < 20 km/s < c_s$, 无 激波 形成 激波, 开始 湍流 与 湍流.

激波 面 产生
反 射 激波 以 c_s 向外 (绝热 膨胀 力 信息
使 外部 力 也 向外)
当 $v > c_s$ 时, 信息 不能 传 出 壳层.
因此 形成 不 连续 的 压力, 即 激波
通过 质量 守恒 定律, 可以 得到
 $\frac{T_1}{T_0} = \frac{c_s(1+\gamma) m^2}{(1+\gamma)^2}$
 $\approx \frac{v_0}{c_0} \sim$ 激波 速度
→ 马赫 数

- 超新星遗迹
1: 自由 膨胀 (100 km/s 初速度)
2: 绝热 膨胀
3: 辐射 冷却 阶段
4: 湍流 阶段 湍流 湍流 湍流

同步辐射

观测事实: x-ray 的区域比光区(红外更), 说明是加速辐射
 (因为 x-ray \rightarrow 辐射寿命短, 只能在加速区看到)
 x-ray 的观测有磁流, 成因尚未知
 有 1% 的同步辐射, 但是同步辐射

脉冲星 = 同步辐射 + Ism 的辐射
 如 Ism 的辐射是同等的

第一章 高能宇宙射线

发现
 德国高能物理研究所 (1905, 卢瑟福)
 德国物理研究所实验, 海顿至向核大加速器 (1912, Hess)

观测引起光变, 高能宇宙射线云, 命名为 Cosmic radiation

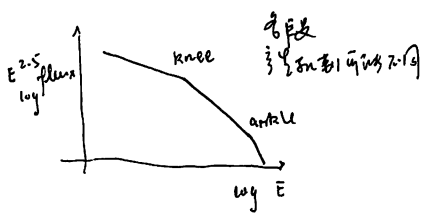
宇宙线的组成

- ~ 90% 质子
- 2% 电子
- 10% He
- 1% 重元素

能量密度很高

- 银河 1 eV/cm^3
- 星光 0.3 eV/cm^3
- CMB 0.5 eV/cm^3
- 宇宙线 0.2 eV/cm^3

宇宙线的谱



高能区谱与低能区不同
 Milky Way $0.3 \mu\text{G}$
 无吃 trap 导致低能区

GZK \rightarrow 高能
 在质子转移中, 若 $E_p =$ 高能, 则与质子碰撞
 $\lambda_{\text{GZK}} \sim 100 \text{ Mpc}$
 截断能量 $5 \times 10^{19} \text{ eV}$
 (宇宙, 大于此能量的 proton 是在 3Mpc 以内产生)

宇宙线的丰度:

Li, Be, B 元素明显比 Solar 偏丰
 He, He, 以及比 He 略重的元素, 都偏丰

可能是由元素裂变产生 (Li, Be, B 与 Ism 的核子碰撞裂变)

$$j_{\text{ion}} \text{ 同公式 } \frac{dN_i(t)}{dt} = -N_i(t) \sum_j \sigma_{ij} + \sum_j \frac{dN_j(t)}{dt} \sigma_{ji}$$

衰变减少 裂变由 j 产生

比如, 宇宙线还会裂变 $\text{CO} \rightarrow \text{C} + \text{O}$
 $\text{C} \rightarrow \text{B}$ (Be 由 $\text{p} + \text{O} \rightarrow \text{C} + \text{O}$ 裂变产生, 不是 $\text{p} + \text{O} \rightarrow \text{Be}$)

此外, 宇宙线还会裂变

"Leaky box" model

CR 的逃逸 MW 磁场在银河系上, 在银河系边缘时有一定几率逃逸

粒子高度逃逸, 裂变, $\text{p} + \text{O} \rightarrow \text{Be}, \text{p} + \text{O} \rightarrow \text{B}$ 的丰度

^{10}Be 丰度约 0.08, 这比产生时 $\sim 10\%$ 少

宇宙线中次级粒子的光子

- π^0 衰变 ($\pi^0 \rightarrow \gamma + \gamma$, $\pi^0 \rightarrow 2\gamma$)
- 电子在 Ism 中初级辐射
- 宇宙线电子 \rightarrow inverse Compton
- \rightarrow 三维传播 产生光子

"不可不同步辐射", 因为否则高能宇宙线电子

射电: 高能电子在 MW 磁场中同步辐射, 在星际空间中很弱

$$[L_{\text{radio}} = 10^{24} \text{ W}]$$

高能宇宙线的加速机制

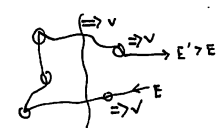
最早提出的是费米加速机制
 1939: 随机区以磁流管
 1951: 磁流管湍流加速
 (更显著)

(在星系团附近)

(1949 Fermi)



平均动能 $\propto v^2$, 因此是湍流
 同时导致谱变平



1 eV/cm^3 (星风, SN, jet 等都有磁流管)

$$\text{高能宇宙线的能量产生 } \frac{\rho \pi R_{\text{MW}}^2 h v}{2} \approx 10^{41} \text{ erg/s}$$

能量来源是什么?

SN $\rightarrow 10^{51} \text{ erg}$, 星风 $\sim \frac{1}{100} \text{ yr} \cdot \text{速度} \cdot 10^{41} \text{ erg/s}$

大 M42 星风 $\rightarrow 10^{37} \text{ erg/s}$, 10^3 km/s (磁流管)

高能大 M42 星风 (0.1 星风)

(对 M82, 有短程系元素, 观测到了 TeV 宇宙线
 高能宇宙线, 证明大 M42 星风可以产生 CR)

x 射线的产生

“流注”有电子
 (但若是反流注则相反)
 质子和电子有相互作用

随堂测试题:

一个望远镜仪器

A: 聚星望远镜. $A_{eff} = 10 \text{ cm}^2$. 焦距 $f = 0.0 \text{ cm}$ (PSF)

B: 广角望远镜. $A_{eff} = 10^4 \text{ cm}^2$

其他条件 (包括望远镜) 类似. 每个 $B = 1 \text{ counts/s/cm}^2$

问题: 对源和背景分别用哪种规则.

分析: $F = \frac{\sigma \sqrt{BA_B t}}{A_{src} t}$ * 焦距 \rightarrow 分辨率

对聚星. $A_B = A_{PSF} \approx 10^{-4} \text{ cm}^2$
 $A_{src} \approx 10 \text{ cm}^2$

对广角. $A_B = A_{src} \approx 10^4 \text{ cm}^2$

用 A 的规则使用

结果: 对背景. 背景噪声内. 信噪比 $\frac{F}{\sqrt{B+F}} \approx \frac{F}{\sqrt{B}}$ 也需足够高, 选聚星.
* 焦距和分辨率.
 $B \gg F$ for weak source

对源 $\frac{F}{\sqrt{B+F}} \propto \sqrt{F}$. 高亮度的流量有信噪比. 所以选广角

实验 1: X 射线能谱拟合

第一部分: 对已知模型的能谱进行拟合练习

一、能谱与模型

| 能谱文件 | 模型 | 模型解释 |
|-------------|----------------------------|--|
| a.pi | wabs * powerlaw | wabs: 星际介质吸收; powerlaw: 幂率谱; |
| b.pi | wabs * diskbb | diskbb: 吸积盘的多温黑体谱; gaussian: 高斯曲线; comptt: 康普顿化模型。 |
| c.pi | wabs (diskbb + powerlaw) | |
| d.pi | wabs (powerlaw + gaussian) | |
| e.pi + f.pi | wabs * comptt | |

XSPEC 的命令与能谱的说明手册: <http://astro.tsinghua.edu.cn/~hfeng/xspec/>

二、操作步骤

(1) 登陆后运行

```

> heainit #初始化 HEASoft
> xspec #运行 XSPEC 软件
XSPEC12> data a.pi #载入数据
XSPEC12> cpd /xs #打开图像设备
XSPEC12> plot data #画图
XSPEC12> ignore **-0.3 8.0-** #只保留 0.3-8.0 keV 能区的数据 (能量值必须输入浮点数, 如果输入整数表示能道)

XSPEC12> plot data
XSPEC12> setplot energy #横轴设为能量
XSPEC12> plot data
XSPEC12> plot ldata #纵轴为对数坐标
XSPEC12> model wabs*powerlaw #定义模型: 吸收的幂率谱, 回车 3 次
XSPEC12> fit 100 #拟合 100 次
XSPEC12> fit 100 #再拟合 100 次
XSPEC12> save all a.xcm #把最优拟合结果存储到 a.xcm 文件中
XSPEC12> plot ldata ratio #上图: 模型与数据; 下图: 数据/模型的比例
XSPEC12> plot ldata chisq #下图: 以  $\chi^2$  为单位的残差
XSPEC12> plot ldata delchi #下图: 以  $\sigma$  为单位的残差
XSPEC12> error 1 #计算参数 1 的误差范围 (缺省置信区间为 90%)
XSPEC12> error 2 #计算参数 2 的误差范围
XSPEC12> flux 0.3 8 #观测到的流强, 能区 0.3-8 keV 单位 erg/cm2/s
XSPEC12> newpar 1 0.0 #将吸收柱密度设为 0

```

```

XSPEC12> flux 0.3 8 #计算吸收前的流强
XSPEC12> @a.xcm #从文件中恢复最优拟合结果
XSPEC12> fit 100 #再拟合 100 次
XSPEC12> iplot #进入 PLT
PLT> hard a.eps/vps #把能谱存成 EPS 图像，可用 gv 命令查看
PLT> exit #退出 PLT
XSPEC12> exit #退出 XSPEC

```

(2) 重复上述命令，拟合 b.pi (注意：使用 b.pi 对应的能谱)。

(3) 对 c.pi, 先用 $wabs * powerlaw$ 模拟拟合, 然后

```

XSPEC12> addcomp 2 diskbb #在第 2 个能谱成分 (即 powerlaw) 之前添加一个
                             #新成分 diskbb, 设初始值为 0.2 keV
XSPEC12> newpar 2 0.2 #另一种方法 “设初始值为 0.2 keV”
XSPEC12> fit 100 #拟合 100 次
XSPEC12> fit 100 #再拟合 100 次
拟合成功标志: 检查  $\chi^2/dof$  是否接近 1.0, 检查残差图是否有特殊的结构。
XSPEC12> newpar 1 0.0 #将吸收柱密度设为 0  $n_H = 0$ 
XSPEC12> flux 0.3 8 #计算吸收前的流强  $F_0 = 4\pi D^2 \cdot flux$ 
XSPEC12> delcomp 3 #删除 power-law 成分
XSPEC12> flux 0.3 8 #计算 diskbb 成分的流强

```

(4) 对 e.pi 和 f.pi 的同时拟合

```

XSPEC12> data e.pi f.pi #载入数据
XSPEC12> ignore 1:**-0.3 10.0-** #对 e.pi, 保留 0.3-10.0 keV 能区的数据
XSPEC12> ignore 2:**-20.0 100.0-** #对 f.pi, 保留 20-100 keV 能区的数据
提示:  $T_0 \approx 1$  keV, 如果自动拟合无法找到最优值, 可以先猜测某些参数的值, 然后固定它拟合其他参数,
最后松开此参数
XSPEC12> freeze 3 #固定第 3 个参数
XSPEC12> fit #拟合其他自由参数
XSPEC12> thaw 3 #松开第 3 个参数
XSPEC12> fit #拟合所有自由参数

```

三、结果要求:

统一要求: 画出最优拟合后的能谱和以 σ 为单位的残差 (plot ldata delchi), 给出拟合的 χ^2 和 dof.

| 能谱文件 | 独立要求 |
|-------------|---|
| a.pi | 给出所有参数的最优拟合值和 90% 的误差范围, 观测到的流强和吸收校正后的光度 (假设距离 3 Mpc)。 <i>两次拟合输出结果没有对比</i> |
| b.pi | 假设距离为 1 Mpc, 吸积盘倾角 $\theta = 0$, 求吸积盘的内半径大小和误差范围。 |
| c.pi | 求出在 0.3-8.0 keV 能区内 diskbb 成分所占流强的百分比 (吸收校正后的流强)。 |
| d.pi | 求发射线能量和 90% 误差范围, 推断发射线的机制。 |
| e.pi + f.pi | 给出入射光子的温度, 光深, 电子冕温度三个参数的最优值和误差。 |

拟合的问题: 一般来讲, 误差为第一, 误差第二, 误差第三的拟合
 误差为第一, 误差第二, 误差第三的拟合
 测出数值, 最好误差范围, eg. 3.6 ± 0.4

第二部分：Chandra 能谱分析

一、数据

Chandra 对 NGC 5408 星系的观测，观测号 2885。使用 LEVEL2 文件 evt2.fits 进行数据处理。拟合星系中最亮的一个 X 射线点源的能谱。

二、操作步骤

1. 数据放置在 ngc5408 目录中，运行

```
> cd ngc5408
> ciao #初始化 CIAO 环境
> ds9 evt/evt2.fits #查看 Chandra 观测图像，设置 Scale 为 Log, Color 为 b
```

2. 在最亮的 X 射线源周围画一个圈，双击，半径改为 2 arcsec (约 4 个像素大小)，用鼠标把圈平移到点源的正中心，点击菜单 “Region – Save Regions”，保存为 x1.reg。

3. 删除 x1.reg，在周围找一个无源的地方，画一个半径为 15 arcsec 的圆，保存为 x1_bkg.reg。

4. 运行如下命令，生成能谱文件 x1.pi，响应矩阵 x1.rmf 与 x1.arf

```
punlearn specextract
pset specextract outroot=x1
pset specextract infile="evt/evt2.fits[sky=region(x1.reg)]"
pset specextract bkgfile="evt/evt2.fits[sky=region(x1_bkg.reg)]"
pset specextract asp=evt/asol1.fits
pset specextract mskfile=evt/msk1.fits
pset specextract badpixfile=evt/bpix1.fits
pset specextract weight=no
pset specextract correctpsf=yes
pset specextract grouptype=NUM_CTS binspec=25
specextract verbose=2 clobber=yes mode=h
```

拟合
如参数不合适，可以再加拟合点源谱或内 (高一些版本)

5. 利用 XSPEC 对 x1_grp.pi 进行能谱拟合，用 wabs*powerlaw 模型。拟合结果要求：

- 画出最优拟合后的能谱和以 σ 为单位的残差 (plot ldata delchi)，给出拟合的 χ^2 和 dof；
- 给出所有参数的最优拟合值和 90% 的误差范围；
- 假设距离 4.8 Mpc，观测到的流强和吸收校正后的光度；

【注意】实际对 Chandra 数据的处理要复杂得多，这里只起示范作用，省略了很多步骤。在实际科学工作中不能按照上述步骤处理 Chandra 数据，必须严格参照 Chandra 相关文献。

实验 2: X 射线的傅里叶时变分析

初始化环境变量 (在 VNC 中)

\$ heainit

一、使用 powspec 计算光变曲线的功率谱。

输入 powspec
> powspec normalization=1 (Leahy 归一化) *通过 Leahy 归一化, 第二个因子归一化*
> powspec normalization=2 (rms 归一化, 单位为 (rms/mean)²/Hz)

Leahy 归一化必须做, rms 归一化可选做。

1. filename: 输入文件名 (b_4ms.lc) ~ *光变曲线* 4ms 每 bin 道, 2-30keV

显示光变曲线的详细信息

2. Name of the window file: 窗文件, 使用缺省值 -

3. Newbin Time or negative rebinning: 对光变曲线在时间域上进行并道, 如果输入正数, 必须是整数乘上最小时间步长, 如果输入负数 -N, 表示每 N 道并成一道。如果不进行并道, 输入 -1。
ΔT 和 Δt 选择, 通过 Δt 到 ΔT 的转换, 从 0.001 Hz 到 100 Hz
两个并道文件 + 34 QPO rms 功率谱 (QPO 分辨率 resolution) + 拟合的拟合
不并道, 在 4ms 的分辨率下

显示新的时间步长和总共的道数

4. Number of Newbins/Interval: 输入进行傅立叶变换的点数 NFFT, 为了进行快速傅立叶变换, 取 $NFFT = 2^N$, 比如 1024, 2048, 4096, 8192, ... 等
*ΔT = NFFT * time step, Δt = 步长, 底速 8192*

5. Number of Intervals/Frame: 时间段数目, 即 M 值, 屏幕上显示了总道数除以 NFFT 后取整得到的数值, 输入缺省值即可。
Time 在总道数中利用取整

6. Rebin results? (>1 const rebin, <-1 geom. Rebin, 0 none): 对功率谱在频域上进行并道, 即 W 值, 如果输入正整数, 即相邻 W 个功率值进行并道, 此时功率谱在线性坐标下是均匀的。如果输入负数, 比如 -g = -1.05, 则进行几何并道, 此时 W 不是常数, $W_{k+1}/W_k = g$, 这时功率谱在对数坐标下的道宽是均匀的。
建议 -g = -1.05 表示一个和宽为 20 道

7. Name of output file: 输出功率谱文件名, 缺省即得到输入文件名后加上 .fps 后缀

8. Do you want to plot your results?: 是否要画出功率谱

9. Enter PGPLOT device: 画图设备, 输入/xw。

二、将功率谱文件转换成 XSPEC 可识别的格式, 以便利用 XSPEC 进行拟合。

运行 "fps2pha b_4ms.fps", 生成 b_4ms.pha 和 b_4ms.rmf, 可输入 XSPEC 进行拟合。

三、在 XSPEC 里进行拟合, 运行 xspec 后

1. data b_4ms.pha (输入文件)

2. cpd /xs

3. setplot energy

4. plot ldata (画出功率谱, 因为 XSPEC 是做能谱拟合的专用工具, 所以此时坐标轴显示的单位不对, 真实单位横轴是 Hz, 纵轴是 Leahy Power)。

5. 使用幂指数为 0 的 powerlaw 模型 (常数模型) 拟合白噪声, 使用 lorentz 模型拟合 QPO 成分, 使用 bknpower 或者多个 lorentz 模型拟合连续成分。具体拟合过程和技巧同实验 1 能谱拟合。
用两个 lorentz 模型拟合, 用一个 break powerlaw (两个 lorentz 模型拟合)

6. lorentz 模型含三个参数, 分别是中心值, 宽度 FWHM, 以及所包含的总面积。面积是 (rms/mean)², 因此, 开根号即得到相对 rms 幅度。
注意两种不同 -g 值, 计算方法不同, 这要先除以一个并道的数量再开根号 rms 幅度

7. 拟合达到 reduced $\chi^2 < 3$ 即可。model 有 bias 时, χ^2 不可以 (识别) 拟合。
拟合结果 14184.304 County

实验报告: 列出计算功率谱所用的参数, 画出拟合后的功率谱图和残差 (plot ldata del), 画出各个功率成分图 (plot ufspec), 给出拟合后的 χ^2 和自由度。对各个 QPOs, 给出其频率和宽度 (FWHM), 以及 90% 误差, 并求出 Q 值和幅度 (rms/mean)。

拟合结果 14184.304 County

*model clear
清除模型*

陈洋溢 2017311337 HW2

1. 查材料的 http://henke.lbl.gov/optical_constants/pert_form.html 衰减长度 λ 可得 $\lambda_{Si} = 1038\mu m, \lambda_{Xe} = 6.564 \times 10^4 \mu m$ 。由辐射强度的衰减公式 $\frac{I}{I_0} = \exp(-x/\lambda)$ 可知，为使 80% 的能量被吸收，也即 $\frac{I}{I_0} = 0.2$ ，分别需要厚度

$$x_{Si} = -\ln 0.2 \times \lambda_{Si} = 1670.6\mu m = 1.67 \text{ mm}$$

$$x_{Xe} = -\ln 0.2 \times \lambda_{Xe} = 1.05644 \times 10^5 \mu m = 106 \text{ mm}$$

2. 在同样的网站上，可以查到 Si 探测器的衰减长度与能量的关系，其在 10-20keV 内是良好的线性关系。因此不妨设

$$\ln\left(\frac{\lambda}{\mu m}\right) = a \ln\left(\frac{E}{\text{keV}}\right) + b$$

根据数据点，带两个点进去，例如 $E=10\text{keV}$ 时 $\lambda = 133.7\mu m$ ，以及上例中 20keV 时的数据，就可以知道系数 $a=2.956$ 。

现在，可以由 $\frac{I}{I_0} = \exp(-x/\lambda)$ 知道探测器的接收效率为

$$\langle \eta \rangle = \int_{E_1}^{E_2} \frac{E \cdot dE}{E_2 - E_1} \approx 0.58 \sim 0.97$$

$$k_E = 1 - (0.2)^{\frac{20}{E}} \quad \text{可以假定为 1}$$

所以，对于 $\frac{dI}{dE} = 8.56 \times \left(\frac{E}{\text{keV}}\right)^{-1.4} \text{ ph/cm}^2/\text{s}/\text{keV}/\text{sr}$ 为能谱的源，其造成的本底是

$$B_1 = \int \left(\frac{dI}{dE}\right) \times k_E \times \left(\frac{\pi}{9}\right)^2 dE = 0.24 \text{ cts/cm}^2/\text{s}$$

另外，探测器本身的本底是 $B_2 = 0.1 \text{ cts/cm}^2/\text{s}$ ，所以可以计算得到总的灵敏度是

$$R = \sigma \sqrt{\frac{B_1 + B_2}{At}}$$

对于 $t=1000\text{s}$ 和 $t=100000\text{s}$ ，这分别就是 $0.00092 \text{ cts/cm}^2/\text{s}$ 和 $0.000092 \text{ cts/cm}^2/\text{s}$ 。

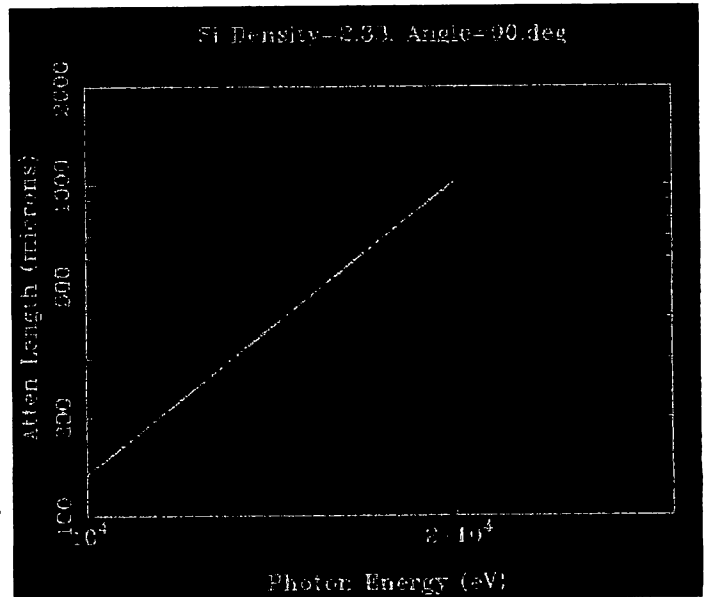
现在，假设被探测体能谱和蟹状星云一样， $\frac{dI}{dE} = K \left(\frac{E}{\text{keV}}\right)^{-2.1} \text{ ph/cm}^2/\text{s}$ ，那么令 $R = \int \left(\frac{dI}{dE}\right) \times k_E dE$ 就可以算出灵敏度极限下的谱系数 K ，最后积分可得 erg 为单位的探测器灵敏度为 $2.12 \times 10^{-11} \text{ erg/s/cm}^2$ for $t = 1000\text{s}$ 和 $2.12 \times 10^{-12} \text{ erg/s/cm}^2$ for $t = 100000\text{s}$

3. XMM 本底强度见 http://xmm2.esac.esa.int/external/xmm_sw_cal/background/bs_countrate.shtml#16。其图 PN medium full frame (pattern ≤ 4) 给出本底强度为 $0.005 \text{ cts/arcmin}^2/\text{s}$ (IN FoV)。

技术手册 <https://www.cosmos.esa.int/web/xmm-newton/technical-details-epic> Ch6 给出其有效面积 (PN, Medium filter, 1keV) 1000cm^2 。Ch2.2 给出 PN CDDS 空间分辨为 3.3arcmin 。No


Chandra ACIS-S3 的技术参数可见 http://cxc.harvard.edu/proposer/POG/html/chap6.html#tth_chAp6，其中 Figure 6.4 给出了其有效面积大约为 $100\text{-}600\text{cm}^2 (0.5\text{-}2\text{keV})$ 。Figure 6.10 给出其空间分辨为 0.418arcsec 。Table 6.9 给出其本底强度为 0.14cts/s/chip 。Table 6.2 给出其 FOV 是 $8 \times 8\text{arcmin}^2$ ，也即本底强度为 $0.002 \text{ ct/s/arcmin}^2$ 。

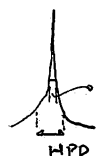
由于灵敏度 $R \sim \sqrt{B/A}$ 。所以，尽管 Chandra 的 A 只有 XMM 的 $0.1 \sim 0.6$ 倍，但是本底只有 $2/5$ 。所以在 2keV 时 ($A=0.6$ 于 XMM) 灵敏度比 XMM 好一点，但是在 0.5keV 时 ($A=0.1$ 倍 XMM) 灵敏度可能比 XMM 略差。



$A_{eff} @ 1\text{keV}?$

①

FWHM \sim 半高全宽
 HEW_{HPD} 半高宽度
 点源成像
 面积占总面积的一半


FWHM 表征分辨率 (区多个像) 时.
 用 FWHM 更准

 对星和暗谱时, 比例更准.
 有时, 还使用 R_{90%}

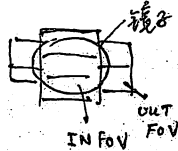
↓ 用 HEW
 分辨率

Chandra $\gamma \sim 0.4$ HEW ~ 0.8

XMM Newton $10 \sim$ HEW

② XMM 的分辨率

注意 $ct^2/chip$ 像素面积为 $ct^2/chip^2$



每个 IN FOV

约 0.5 \sim 2 keV 的 Counts 分辨率

③ 聚光镜的 B. 应是 $F \sim \frac{D}{\lambda}$, 即 B 与波长成正比, 探测器面积

B 计算, 应该用 有效 X 分辨率的面积 $\sim A_{PSF} \sim H^2 \sim \lambda^2$

说明时, 是 PSF 的面积

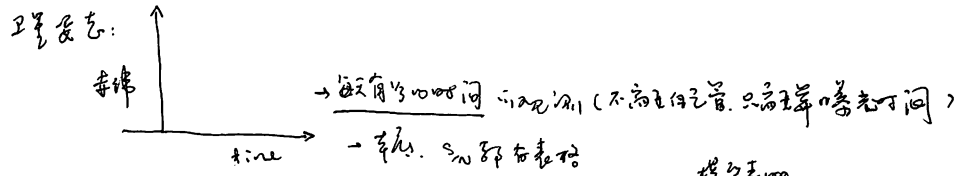
因而 Chandra 分辨率更好, 所以并 (等) 灵敏度更好 (尽管面积小) 5 到 10 倍

(e.g. HST 的分辨率比 Keck 好, 且 Keck 的 B)

通过改正可以做得更好; 因而 Keck 无法长时间曝光 (暗场)

Polarlight 极化计设计 小结讨论

Polarlight PD



可行的目标: SCO X-1 可以实际观测. 模型和 Polar Cap
 其他观测是以 { Crab Pulsar: 脉冲星的中心 θ 与观测到, 可以实际检验
 偏振角: 要看几何 (e.g. 修改 model) } 可以做去噪滤波后的 model
 观测量及不确定性: Gem Pixel Detector 也可以搞通实际模拟. 测量带电粒子 \rightarrow 信号
 不同的观测, 多个不同 \rightarrow 观测光子事件; 每个光子观测到 (光子级光子, 电子 trace 可被
 GEM 中做光子级光子观测到)
观测精度与观测量 \rightarrow 不确定性

何+何与采样率的关系, 多长的时间采样, 观测到 若不能, 可搞正
 Too. 观测精度与观测量; 没有观测量, 观测精度 \rightarrow Relevant

观测: Beam Fan Beam, Pencil Beam
 观测精度: 观测 \rightarrow Beam 不确定性
 观测精度: Beam

- 卫星姿态的 flux
- 观测精度 \rightarrow 观测量 (观测量), SCO X-1 \sim 7 倍于 Crab.
 ↳ { 90% 来自 nebula
 10% 来自 pulsar

估计观测精度观测量好

观测精度 vol. 47. 1985
 Experimental Astronomy

Table 6 给出了不同精度, 不同观测量的精度估计 (应该用观测量, 更准确)

minimal detectable polarization (MDP)

$$= 99\% \text{ 置信度下, 0 偏振量观测精度的一半}$$

$$= \frac{4.29}{\mu S} \sqrt{\frac{S+B}{T}} \rightarrow \text{估计精度加} = \frac{4.29}{\mu \sqrt{N}}$$

调制频率 与实际偏振度
 Fig. 13. 81 keV \sim 60% 无关
 2 keV \sim 10%

观测精度估计精度公式

30 \sim 22 \times MDP
 观测 精度 \sim N
 观测精度 10%
 MDP \leq 1%
 即可观测精度不确定性 3%